

# Circuiti in regime sinusoidale

[www.die.ing.unibo.it/pers/mastri/didattica.htm](http://www.die.ing.unibo.it/pers/mastri/didattica.htm)  
(versione del 26-4-2011)

## Funzioni sinusoidali

$$a(t) = A_M \cos(\omega t + \alpha)$$

$A_M$  = ampiezza

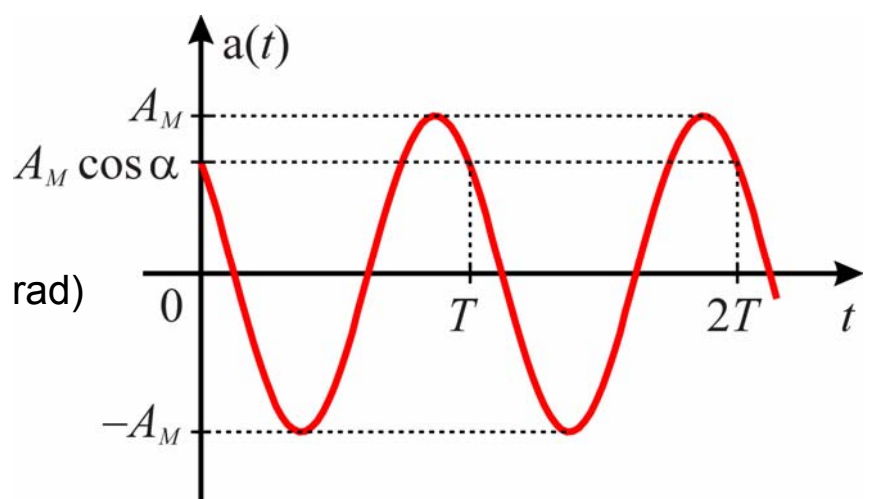
$\alpha$  = fase iniziale (radianti, rad)

$$(-\pi < \alpha \leq \pi)$$

$\omega$  = pulsazione (rad/s)

$f$  = frequenza (hertz, Hz)

$T$  = periodo (secondi, s)



$$f = \frac{1}{T} \quad T = \frac{2\pi}{\omega} \quad \omega = \frac{2\pi}{T} = 2\pi f$$

## Regimi sinusoidali

- Si considera un circuito lineare in cui tutti i generatori indipendenti sono sinusoidali e hanno la stessa pulsazione  $\omega$
- Le equazioni del circuito costituiscono un sistema di equazioni differenziali lineari nel quale i termini noti sono funzioni sinusoidali con pulsazione  $\omega$
- Le equazioni generalmente ammettono una soluzione sinusoidale con pulsazione  $\omega$
- Se il circuito è asintoticamente stabile, questa soluzione particolare rappresenta la componente di regime della risposta (→ **regime sinusoidale**)

3

## Regimi sinusoidali

- **Regime sinusoidale**: condizione di funzionamento di un circuito nella quale tutte le tensioni e le correnti sono funzioni sinusoidali del tempo aventi la stessa pulsazione  $\omega$
- Fissata la pulsazione, una funzione sinusoidale è definita da due parametri
  - ◆ Ampiezza
  - ◆ Fase
- Il problema della determinazione della soluzione particolare sinusoidale delle equazioni del circuito (cioè della determinazione delle ampiezze e delle fasi di tutte le tensioni e correnti) può essere ricondotto ad un problema di tipo algebrico mediante la **trasformata di Steinmetz**
- Il metodo di analisi basato sulla trasformata di Steinmetz è detto anche **metodo simbolico**

4

## Trasformata di Steinmetz

### • Trasformata di Steinmetz: $\mathfrak{S}$

- ◆ Ad ogni funzione sinusoidale di pulsazione  $\omega$

$$a(t) = A_M \cos(\omega t + \alpha)$$

si associa un numero complesso  $\mathbf{A}$  avente

- modulo  $A_M$  (= ampiezza della funzione sinusoidale)
- argomento  $\alpha$  (= fase della funzione sinusoidale)

$$\mathbf{A} = \mathfrak{S}\{a(t)\} = A_M e^{j\alpha} = A_M (\cos \alpha + j \sin \alpha)$$

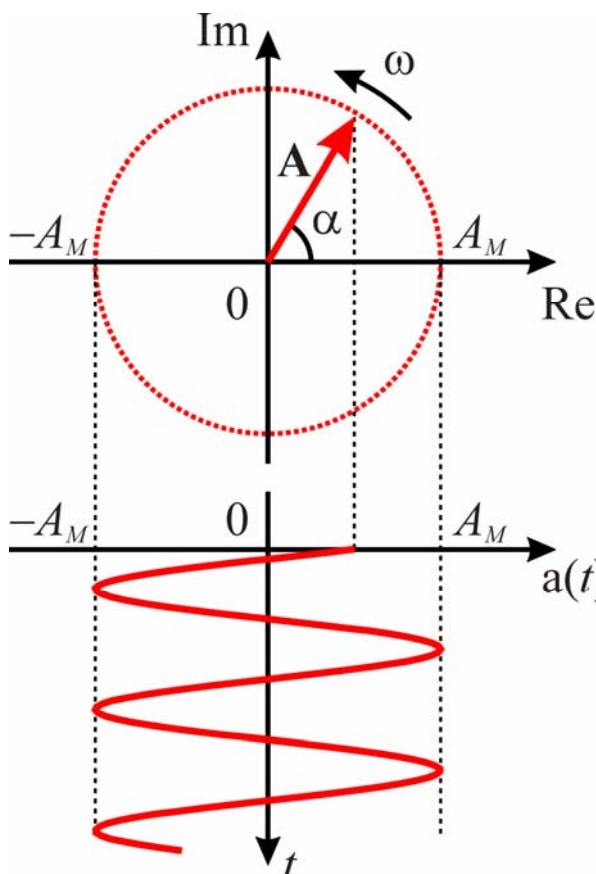
- ◆  $\mathbf{A}$  = **fasore** o **numero complesso rappresentativo** di  $a(t)$

### • Antitrasformata di Steinmetz: $\mathfrak{S}^{-1}$

$$a(t) = \mathfrak{S}^{-1}\{\mathbf{A}\} = \operatorname{Re}[\mathbf{A} e^{j\omega t}] = \operatorname{Re}[A_M e^{j(\omega t + \alpha)}] = A_M \cos(\omega t + \alpha)$$

5

## Interpretazione geometrica



$$\mathbf{s}(t) = \mathbf{A} e^{j\omega t} = A_M e^{j(\omega t + \alpha)}$$

$$a(t) = \operatorname{Re}[\mathbf{A} e^{j\omega t}] = A_M \cos(\omega t + \alpha)$$

6

## Proprietà della trasformata di Steinmetz

### Unicità

- La trasformata di Steinmetz stabilisce una corrispondenza biunivoca tra le funzioni sinusoidali di pulsazione  $\omega$  e i numeri complessi

$$\begin{array}{ll} a(t) = A_M \cos(\omega t + \alpha) & \mathbf{A} = \mathcal{S}\{a(t)\} = A_M e^{j\alpha} \\ b(t) = B_M \cos(\omega t + \beta) & \mathbf{B} = \mathcal{S}\{b(t)\} = B_M e^{j\beta} \end{array}$$



$$a(t) = b(t) \quad \forall t \quad \Leftrightarrow \quad \mathbf{A} = \mathbf{B}$$

7

## Proprietà della trasformata di Steinmetz

### Linearità

- La trasformata di Steinmetz è un'operazione lineare

$$\begin{array}{ll} a(t) = A_M \cos(\omega t + \alpha) & \mathbf{A} = \mathcal{S}\{a(t)\} = A_M e^{j\alpha} \\ b(t) = B_M \cos(\omega t + \beta) & \mathbf{B} = \mathcal{S}\{b(t)\} = B_M e^{j\beta} \end{array}$$



$$\begin{array}{l} \forall k_1, k_2 \in \mathbb{R} : \\ \mathcal{S}\{k_1 a(t) + k_2 b(t)\} = k_1 \mathcal{S}\{a(t)\} + k_2 \mathcal{S}\{b(t)\} = k_1 \mathbf{A} + k_2 \mathbf{B} \end{array}$$

8

## Proprietà della trasformata di Steinmetz

### Regola di derivazione

- La trasformata della derivata di una funzione sinusoidale si ottiene moltiplicando per  $j\omega$  la trasformata della funzione

$$a(t) = A_M \cos(\omega t + \alpha) \qquad \mathbf{A} = \mathcal{S}\{a(t)\} = A_M e^{j\alpha}$$



$$\mathcal{S}\left\{\frac{da}{dt}\right\} = j\omega \mathcal{S}\{a(t)\} = j\omega \mathbf{A}$$

- Dimostrazione:

$$\frac{da}{dt} = -\omega A_M \sin(\omega t + \alpha) = \omega A_M \cos\left(\omega t + \alpha + \frac{\pi}{2}\right)$$

$$\mathcal{S}\left\{\frac{da}{dt}\right\} = \omega A_M e^{j\left(\alpha + \frac{\pi}{2}\right)} = \omega A_M e^{j\alpha} e^{j\frac{\pi}{2}} = j\omega A_M e^{j\alpha} = j\omega \mathbf{A} = j\omega \mathcal{S}\{a(t)\}$$

9

## Proprietà della trasformata di Steinmetz

### Regola di derivazione

- Applicando ricorsivamente la regola di derivazione si possono ottenere le trasformate delle derivate di ordine superiore

$$\mathcal{S}\left\{\frac{d^2 a}{dt^2}\right\} = j\omega \cdot \mathcal{S}\left\{\frac{da}{dt}\right\} = (j\omega)^2 \mathbf{A} = -\omega^2 \mathbf{A}$$

$$\mathcal{S}\left\{\frac{d^3 a}{dt^3}\right\} = j\omega \cdot \mathcal{S}\left\{\frac{d^2 a}{dt^2}\right\} = (j\omega)^3 \mathbf{A} = -j\omega^3 \mathbf{A}$$

⋮

$$\mathcal{S}\left\{\frac{d^n a}{dt^n}\right\} = j\omega \cdot \mathcal{S}\left\{\frac{da^{n-1}}{dt^{n-1}}\right\} = (j\omega)^n \mathbf{A}$$

10

## Antitrasformata

- Noto il numero complesso rappresentativo  $\mathbf{A}$  di una funzione sinusoidale

$$\mathbf{A} = A_M e^{ja} = x + jy$$

e nota la pulsazione  $\omega$ , è possibile determinare in modo univoco la funzione sinusoidale  $a(t)$  mediante la relazione

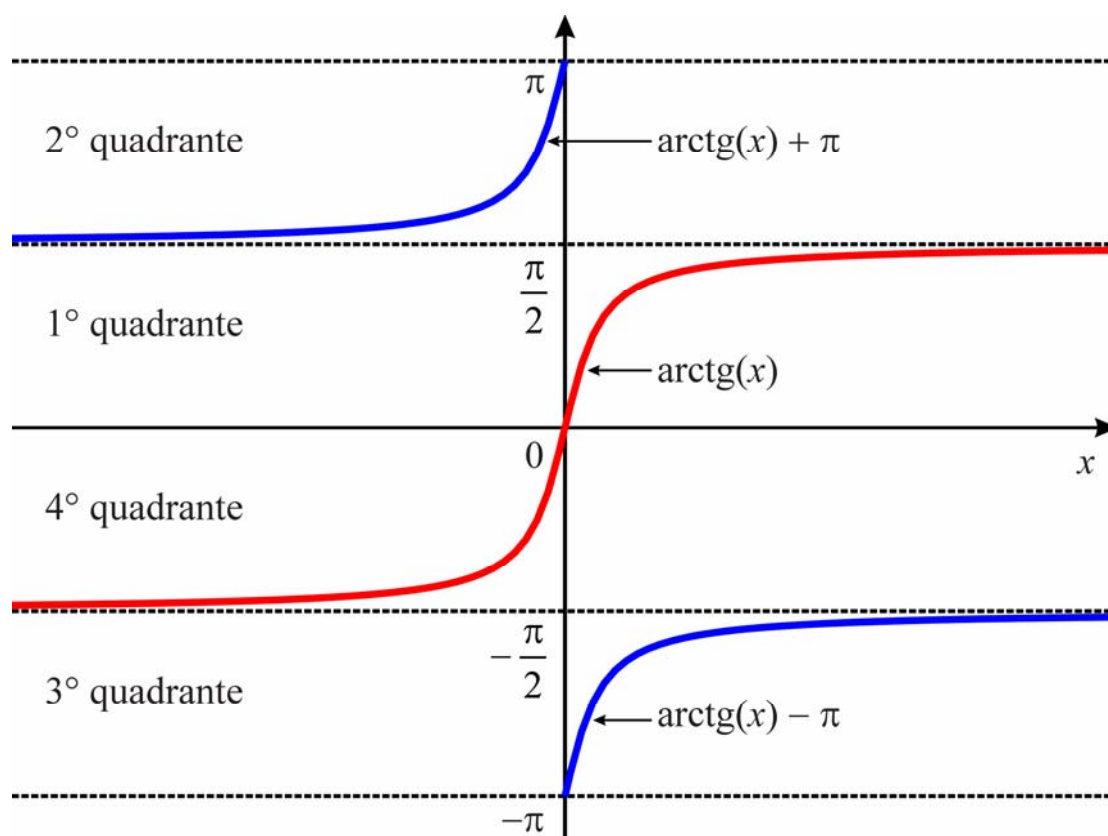
$$a(t) = \mathcal{S}^{-1}\{\mathbf{A}\} = A_M \cos(\omega t + \alpha) = |\mathbf{A}| \cos[\omega t + \arg(\mathbf{A})]$$

- **Nota:**

- ◆ Vale la relazione  $\operatorname{tg}\alpha = y/x$  ma questo non consente di affermare che  $\alpha = \operatorname{arctg}(y/x)$
- ◆ Dato che la funzione tangente ha periodo  $\pi$  esistono due valori di  $\alpha$  nell'intervallo  $]-\pi, \pi]$  in cui la tangente ha lo stesso valore
- ➔ Per determinare  $\alpha$  occorre tenere conto dei segni di  $x$  e  $y$

11

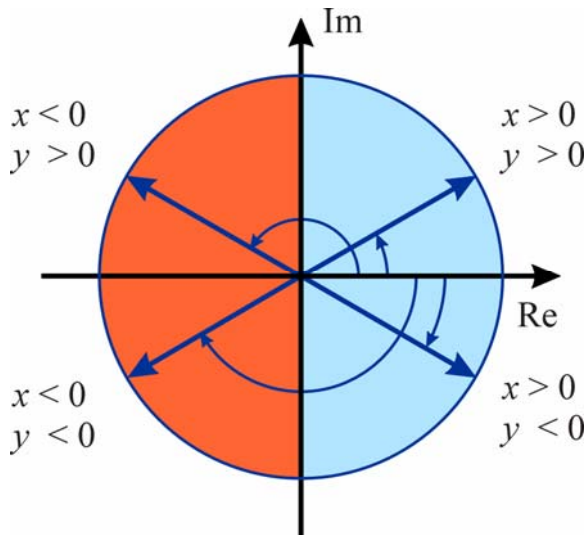
## Antitrasformata – determinazione della fase



12

## Antitrasformata – determinazione della fase

$$\mathbf{A} = x + jy = A_M e^{j\alpha}$$



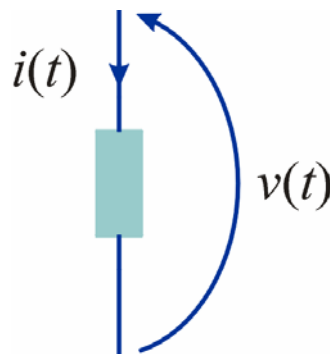
$$A_M = \sqrt{x^2 + y^2}$$

$$\alpha = \begin{cases} \arctg \frac{y}{x} + \pi \cdot \text{sgn}(y) & \text{per } x < 0 \\ \frac{\pi}{2} \cdot \text{sgn}(y) & \text{per } x = 0 \\ \arctg \frac{y}{x} & \text{per } x > 0 \end{cases}$$

$$\text{sgn}(y) = \begin{cases} -1 & \text{per } y < 0 \\ 0 & \text{per } y = 0 \\ 1 & \text{per } y > 0 \end{cases}$$

13

## Bipoli in regime sinusoidale



- Condizioni di regime sinusoidale
- Tensione e corrente orientate secondo la convenzione dell'utilizzatore:

$$v(t) = V_M \cos(\omega t + \varphi_V)$$

$$i(t) = I_M \cos(\omega t + \varphi_I)$$



$$\mathbf{V} = \mathcal{S}\{v(t)\} = V_M e^{j\varphi_V}$$

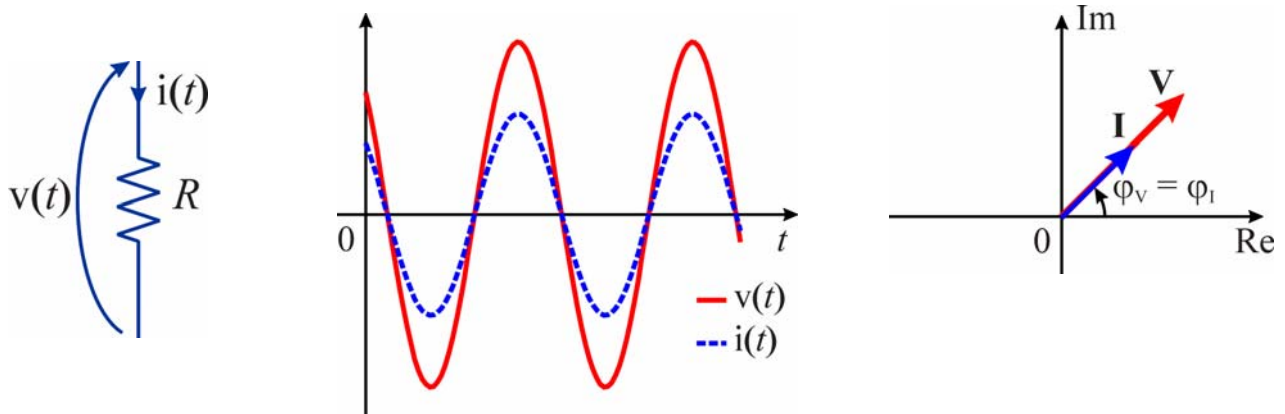
$$\mathbf{I} = \mathcal{S}\{i(t)\} = I_M e^{j\varphi_I}$$

- **Sfasamento fra tensione e corrente:**  $\varphi = \varphi_V - \varphi_I$

14

## Resistore in regime sinusoidale

$$\begin{aligned} v(t) &= R i(t) = R I_M \cos(\omega t + \varphi_I) & \Rightarrow & \quad \mathbf{V} = R \mathbf{I} \\ i(t) &= G v(t) = G V_M \cos(\omega t + \varphi_V) & \Rightarrow & \quad \mathbf{I} = G \mathbf{V} \end{aligned}$$

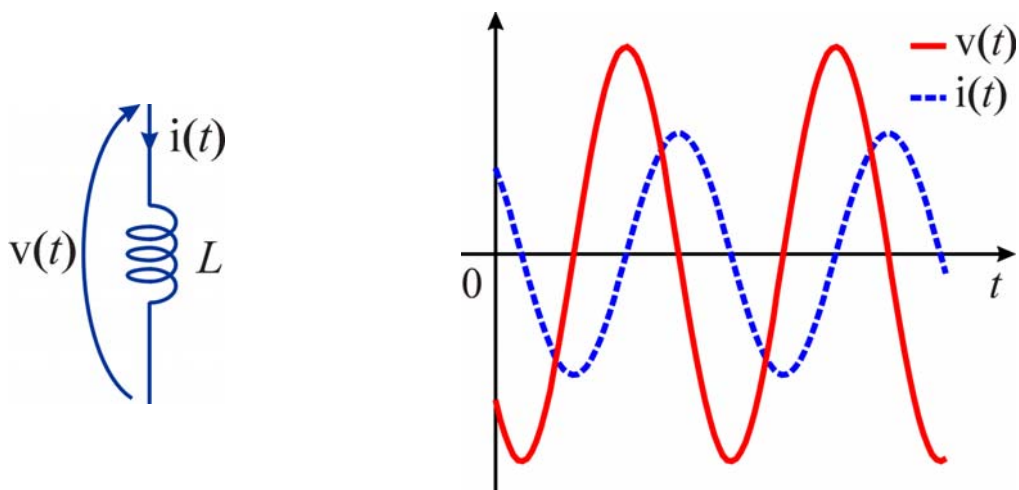


$$V_M = R I_M$$

$\varphi_V = \varphi_I \Rightarrow \varphi = 0 \Rightarrow$  la tensione e la corrente sono **in fase**

15

## Induttore in regime sinusoidale



$$v(t) = L \frac{di}{dt} = -\omega L I_M \sin(\omega t + \varphi_I) = \omega L I_M \cos(\omega t + \varphi_I + \frac{\pi}{2})$$

$$V_M = \omega L I_M$$

$\varphi_V = \varphi_I + \frac{\pi}{2} \Rightarrow \varphi = \frac{\pi}{2} \Rightarrow$  la corrente è **in quadratura in ritardo** rispetto alla tensione

16

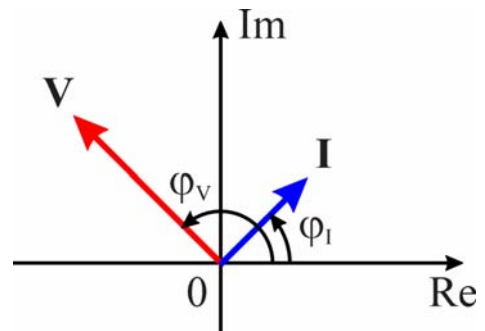


## Induttore – relazioni tra i fasori

$$v(t) = L \frac{di}{dt} \quad \Rightarrow \quad \begin{aligned} \mathbf{V} &= j\omega L \mathbf{I} = jX_L \mathbf{I} \\ \mathbf{I} &= -j \frac{1}{\omega L} \mathbf{V} = jB_L \mathbf{V} \end{aligned}$$

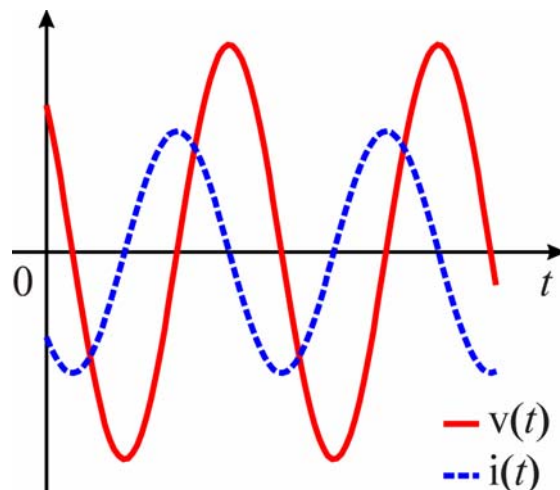
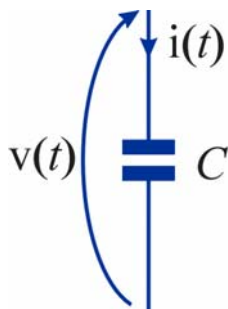
**Reattanza:**  $X_L = \omega L$

**Suscettanza:**  $B_L = -\frac{1}{\omega L} = -\frac{1}{X_L}$



17

## Condensatore in regime sinusoidale



$$i(t) = C \frac{dv}{dt} = -\omega C V_M \sin(\omega t + \varphi_V) = \omega C V_M \cos(\omega t + \varphi_V + \frac{\pi}{2})$$

$$I_M = \omega C V_M$$

$$\varphi_V = \varphi_I - \frac{\pi}{2} \quad \Rightarrow \quad \varphi = -\frac{\pi}{2} \quad \Rightarrow \quad \text{la corrente è in quadratura in anticipo rispetto alla tensione}$$

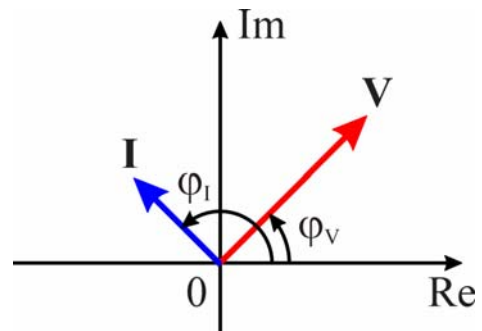
18

## Condensatore – relazioni tra i fasori

$$i(t) = C \frac{dv}{dt} \quad \Rightarrow \quad \begin{aligned} \mathbf{I} &= j\omega C \mathbf{V} = jB_C \mathbf{V} \\ \mathbf{V} &= -j \frac{1}{\omega C} \mathbf{I} = jX_C \mathbf{I} \end{aligned}$$

**Suscettanza:**  $B_C = \omega C$

**Reattanza:**  $X_C = -\frac{1}{\omega C} = -\frac{1}{B_C}$



19

## Impedenza e ammettenza

- Le relazioni tra i fasori della tensione e della corrente per il resistore, l'induttore e il condensatore sono casi particolari delle equazioni

$$\mathbf{V} = \mathbf{Z} \mathbf{I} \quad \mathbf{I} = \mathbf{Y} \mathbf{V}$$

Componente	Z	Y
Resistore	$R$	$G$
Induttore	$j\omega L$	$-j \frac{1}{\omega L}$
Condensatore	$-j \frac{1}{\omega C}$	$j\omega C$

20

## Impedenza e ammettenza

- Più in generale, per un bipolo lineare non contenente generatori indipendenti, la tensione e la corrente sono legate tra loro da relazioni differenziali lineari omogenee
- ➔ Per la proprietà di linearità e la regola di derivazione della trasformata di Steinmetz, le corrispondenti relazioni tra i fasori della tensione e della corrente sono lineari algebriche omogenee, e quindi ancora del tipo

$$\mathbf{V} = \mathbf{Z}\mathbf{I} \quad \mathbf{I} = \mathbf{Y}\mathbf{V}$$

- Nel caso generale  $\mathbf{Z}$  e  $\mathbf{Y}$  sono funzioni complesse della pulsazione

$$\mathbf{Z}(\omega) = R(\omega) + jX(\omega)$$

$$\mathbf{Y}(\omega) = G(\omega) + jB(\omega)$$

21

## Impedenza

- Per un bipolo lineare non contenente generatori si definisce **impedenza** il rapporto

$$\mathbf{Z} = \frac{\mathbf{V}}{\mathbf{I}} = \frac{V_M}{I_M} e^{j\varphi}$$

$$\mathbf{Z} = R + jX \quad \rightarrow \quad \begin{array}{l} R = \text{resistenza} \\ X = \text{reattanza} \end{array} \quad (\text{unità di misura ohm})$$

- Il modulo dell'impedenza è uguale al rapporto tra le ampiezze della tensione e della corrente

$$|\mathbf{Z}| = \frac{V_M}{I_M}$$

- L'argomento dell'impedenza è uguale allo sfasamento tra la tensione e la corrente

$$\arg(\mathbf{Z}) = \varphi = \varphi_V - \varphi_I \quad \begin{array}{l} \varphi > 0 \quad \rightarrow \text{corrente in ritardo sulla tensione} \\ \varphi < 0 \quad \rightarrow \text{corrente in anticipo sulla tensione} \end{array}$$

22

# Ammettenza

- Il reciproco dell'impedenza è detto **ammettenza**

$$\mathbf{Y} = \frac{1}{\mathbf{Z}} = \frac{\mathbf{I}}{\mathbf{V}} = \frac{I_M}{V_M} e^{-j\varphi}$$

$$\mathbf{Y} = G + jB \quad \Rightarrow \quad \begin{aligned} G &= \text{conduttanza} \\ B &= \text{suscettanza} \end{aligned} \quad (\text{unità di misura siemens})$$

- Valgono le relazioni

$$\mathbf{Y} = \frac{1}{R + jX} = \frac{R - jX}{(R + jX)(R - jX)} = \frac{R - jX}{R^2 + X^2} \quad \mathbf{Z} = \frac{1}{G + jB} = \frac{G - jB}{G^2 + B^2}$$

$$\Rightarrow G = \frac{R}{R^2 + X^2} = \frac{R}{|\mathbf{Z}|^2} \quad B = -\frac{X}{R^2 + X^2} = -\frac{X}{|\mathbf{Z}|^2}$$

$$\Rightarrow R = \frac{G}{G^2 + B^2} = \frac{G}{|\mathbf{Y}|^2} \quad X = -\frac{B}{G^2 + B^2} = -\frac{B}{|\mathbf{Y}|^2}$$

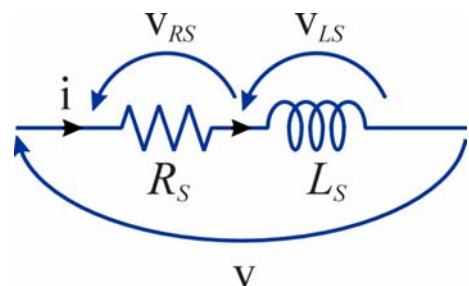
23

## Esempio - Bipolo RL serie

$$v(t) = v_{RS}(t) + v_{LS}(t) = R_S i(t) + L_S \frac{di}{dt}$$

⇓

$$\mathbf{V} = \mathbf{V}_{RS} + \mathbf{V}_{LS} = (R_S + j\omega L_S) \mathbf{I}$$



$$\mathbf{Z} = R_S + j\omega L_S \quad \Rightarrow \quad \begin{cases} R = R_S \\ X = \omega L_S \end{cases}$$

$$\mathbf{Y} = \frac{1}{\mathbf{Z}} = \frac{R_S}{R_S^2 + (\omega L_S)^2} - j \frac{\omega L_S}{R_S^2 + (\omega L_S)^2} \quad \Rightarrow \quad \begin{cases} G = \frac{R_S}{R_S^2 + (\omega L_S)^2} \\ B = -\frac{\omega L_S}{R_S^2 + (\omega L_S)^2} \end{cases}$$

24

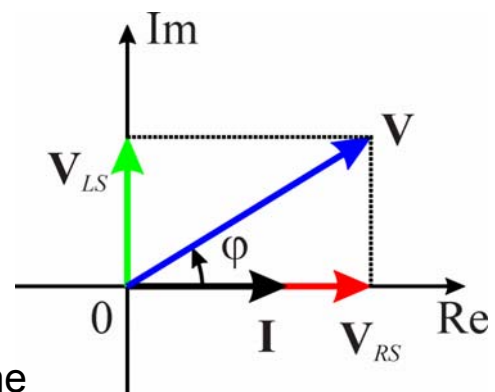
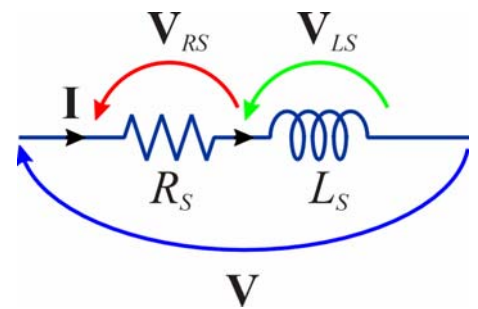
## Esempio - Bipolo RL serie

$$|\mathbf{Z}| = \sqrt{R_S^2 + (\omega L_S)^2}$$

$$\varphi = \arg(\mathbf{Z}) = \arctg\left(\frac{\omega L_S}{R_S}\right)$$

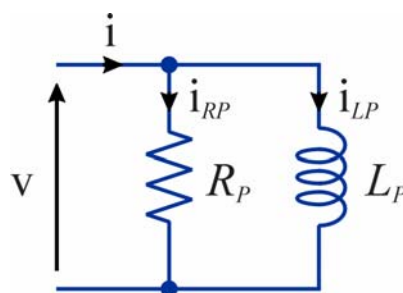
$$R_S > 0, L_S > 0 \Rightarrow 0 \leq \varphi < \frac{\pi}{2}$$

La corrente è in ritardo rispetto alla tensione



25

## Esempio - Bipolo RL parallelo



$$i(t) = i_{RP}(t) + i_{LP}(t) = \frac{1}{R_P} v(t) + \frac{1}{L_P} \int_{-\infty}^t v(x) dx \Rightarrow \frac{di}{dt} = \frac{1}{R_P} \frac{dv}{dt} + \frac{1}{L_P} v(t)$$

⇓

$$j\omega \mathbf{I} = j\omega \frac{1}{R_P} \mathbf{V} + \frac{1}{L_P} \mathbf{V} \Rightarrow \mathbf{I} = \mathbf{I}_{RP} + \mathbf{I}_{RL} = \left( \frac{1}{R_P} - j \frac{1}{\omega L_P} \right) \mathbf{V}$$

26

## Esempio - Bipolo RL parallelo

$$\mathbf{Y} = \frac{1}{R_p} - j \frac{1}{\omega L_p} \Rightarrow \begin{cases} G = \frac{1}{R_p} \\ B = -\frac{1}{\omega L_p} \end{cases}$$

$$\mathbf{Z} = \frac{1}{\mathbf{Y}} = \frac{\omega^2 R_p L_p^2}{R_p^2 + (\omega L_p)^2} + j \frac{\omega R_p^2 L_p}{R_p^2 + (\omega L_p)^2} \Rightarrow \begin{cases} R = \frac{\omega^2 R_p L_p^2}{R_p^2 + (\omega L_p)^2} \\ X = \frac{\omega R_p^2 L_p}{R_p^2 + (\omega L_p)^2} \end{cases}$$

27

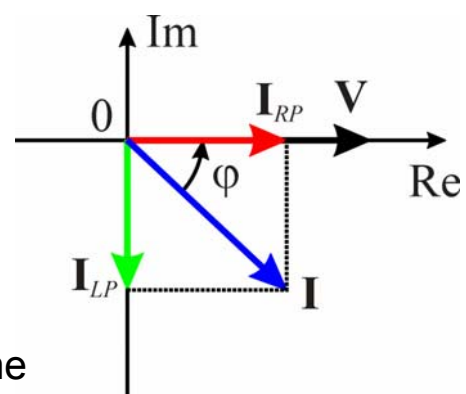
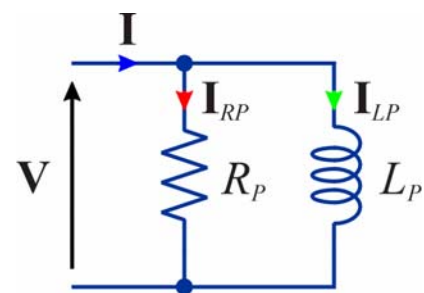
## Esempio - Bipolo RL parallelo

$$|\mathbf{Z}| = \frac{1}{\sqrt{\frac{1}{R_p^2} + \frac{1}{(\omega L_p)^2}}}$$

$$\varphi = \arg(\mathbf{Z}) = \operatorname{arctg}\left(\frac{R_p}{\omega L_p}\right)$$

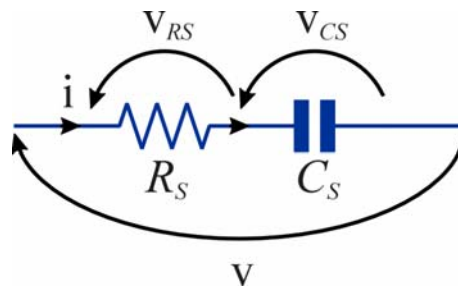
$$R_p > 0, L_p > 0 \Rightarrow 0 < \varphi \leq \frac{\pi}{2}$$

La corrente è in ritardo rispetto alla tensione



28

## Esempio - Bipolo RC serie



$$v(t) = v_{RS}(t) + v_{CS}(t) = R_S i(t) + \frac{1}{C_S} \int_{-\infty}^t i(x) dx \Rightarrow \frac{dV}{dt} = R_S \frac{di}{dt} + \frac{1}{C_S} i(t)$$

⇓

$$j\omega V = R_S j\omega I + \frac{1}{C_S} I \Rightarrow V = V_{RS} + V_{CS} = \left( R_S - j \frac{1}{\omega C_S} \right) I$$

29

## Esempio - Bipolo RC serie

$$Z = R_S - j \frac{1}{\omega C_S} \Rightarrow \begin{cases} R = R_S \\ X = -\frac{1}{\omega C_S} \end{cases}$$

$$Y = \frac{1}{Z} = \frac{\omega^2 R_S C_S^2}{1 + (\omega R_S C_S)^2} + j \frac{\omega C_S}{1 + (\omega R_S C_S)^2} \Rightarrow \begin{cases} G = \frac{\omega^2 R_S C_S^2}{1 + (\omega R_S C_S)^2} \\ B = \frac{\omega C_S}{1 + (\omega R_S C_S)^2} \end{cases}$$

30

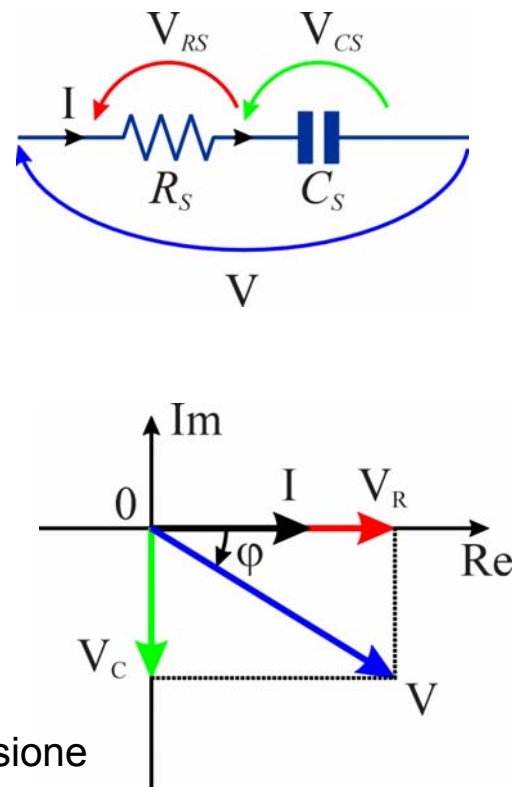
## Esempio - Bipolo RC serie

$$|\mathbf{Z}| = \sqrt{R_s^2 + \frac{1}{(\omega C_s)^2}}$$

$$\varphi = \arg(\mathbf{Z}) = -\arctg\left(\frac{1}{\omega R_s C_s}\right)$$

$$R_C > 0, L_C > 0 \Rightarrow -\frac{\pi}{2} \leq \varphi < 0$$

La corrente è in anticipo rispetto alla tensione

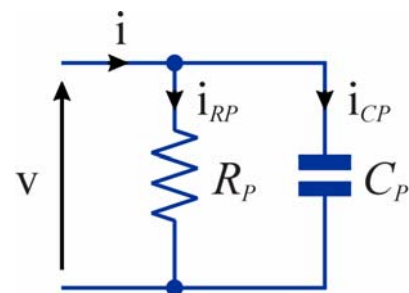


31

## Esempio - Bipolo RC parallelo

$$i(t) = i_{RP}(t) + i_{CP}(t) = \frac{1}{R_p} v(t) + C_p \frac{dv}{dt}$$

$$\mathbf{I} = \mathbf{I}_{RP} + \mathbf{I}_{CP} = \left( \frac{1}{R_p} + j\omega C_p \right) \mathbf{V}$$



$$\mathbf{Y} = \frac{1}{R_p} + j\omega C_p \Rightarrow \begin{cases} G = \frac{1}{R_p} \\ B = \omega C_p \end{cases}$$

$$\mathbf{Z} = \frac{1}{\mathbf{Y}} = \frac{R_p}{1 + (\omega R_p C_p)^2} - j \frac{\omega R_p^2 C_p}{1 + (\omega R_p C_p)^2} \Rightarrow \begin{cases} R = \frac{R_p}{1 + (\omega R_p C_p)^2} \\ X = -\frac{\omega R_p^2 C_p}{1 + (\omega R_p C_p)^2} \end{cases}$$

32



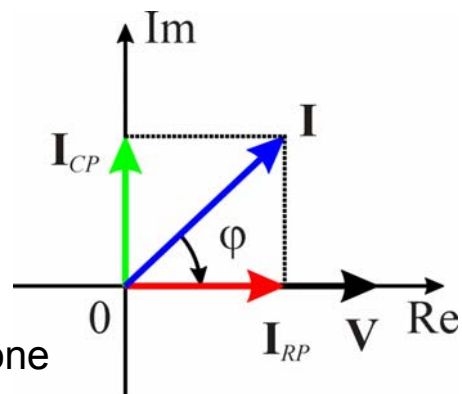
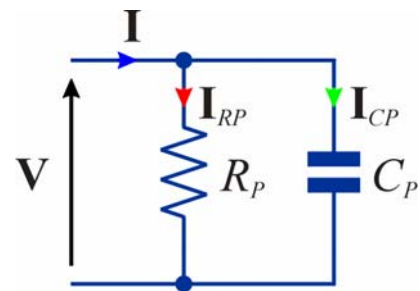
## Esempio - Bipolo RC parallelo

$$|\mathbf{Z}| = \frac{1}{\sqrt{\frac{1}{R_P^2} + (\omega C_P)^2}}$$

$$\varphi = \arg(\mathbf{Z}) = -\arctg(\omega R_P C_P)$$

$$R_C > 0, L_C > 0 \Rightarrow -\frac{\pi}{2} < \varphi \leq 0$$

La corrente è in anticipo rispetto alla tensione



33

## Analisi di circuiti in regime sinusoidale

### Equazioni dei componenti

- Generatori indipendenti:  
sono note le tensioni o le correnti → sono noti anche i loro fasori

$$\mathbf{V} = \mathbf{V}_G$$

$$\mathbf{I} = \mathbf{I}_G$$

- Bipoli lineari:

$$\mathbf{V} = \mathbf{Z}\mathbf{I}$$

$$\mathbf{I} = \mathbf{Y}\mathbf{V}$$

- Generatori dipendenti:  
per la proprietà di linearità, le relazioni tra i fasori sono

$$\mathbf{I}_2 = \alpha \mathbf{I}_1 \quad \mathbf{I}_2 = g \mathbf{V}_1$$

$$\mathbf{V}_2 = r \mathbf{I}_1 \quad \mathbf{V}_2 = \mu \mathbf{V}_1$$

34

## Analisi di circuiti in regime sinusoidale

### Equazioni dei collegamenti

- Le relazioni tra le grandezze funzioni del tempo sono espresse da equazioni algebriche lineari omogenee del tipo

$$\sum_k \pm i_k(t) = 0$$

$$\sum_k \pm v_k(t) = 0$$

- Per le proprietà di unicità e di linearità della trasformata di Steinmetz

$$\sum_k \pm \mathbf{I}_k = 0$$

$$\mathbf{I}_k = \mathcal{S}\{i_k(t)\} \quad \mathbf{V}_k = \mathcal{S}\{v_k(t)\}$$

$$\sum_k \pm \mathbf{V}_k = 0$$

- Le leggi di Kirchhoff valgono anche per i fasori delle tensioni e delle correnti

35

## Analisi di circuiti in regime sinusoidale

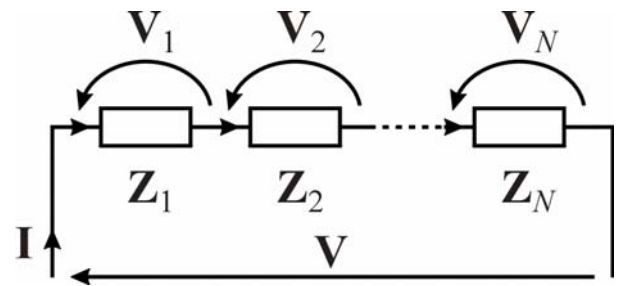
- Le equazioni di un circuito lineare in regime sinusoidale, scritte in termini di fasori, hanno la stessa forma delle equazioni di un circuito lineare resistivo in regime stazionario
- Le proprietà e metodi di analisi dedotti a partire dalle equazioni generali dei circuiti resistivi possono essere estesi ai circuiti in regime sinusoidale con le sostituzioni:
  - Resistenza → Impedenza
  - Conduttanza → Ammettenza
  - Tensione → Fasore della tensione
  - Corrente → Fasore della corrente
- In particolare si possono estendere ai circuiti in regime sinusoidale
  - le relazioni di equivalenza riguardanti collegamenti tra resistori o generatori (serie, parallelo, stella-triangolo, formule di Millman ecc.)
  - i metodi di analisi generali (metodo delle maglie, metodo dei nodi e metodo degli anelli)
  - il teorema di sovrapposizione
  - i teoremi di Thévenin e Norton

36

# Impedenze in serie e in parallelo

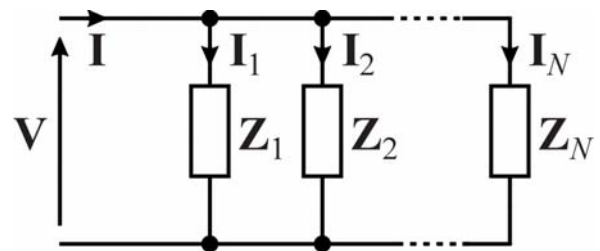
- Impedenze in serie

$$\begin{aligned} \mathbf{V} &= \sum_{k=1}^N \mathbf{V}_k & \mathbf{V} &= \mathbf{Z}_S \mathbf{I} \\ \mathbf{I}_k &= \mathbf{I} & \mathbf{Z}_S &= \sum_{k=1}^N \mathbf{Z}_K \\ \mathbf{V}_k &= \mathbf{Z}_k \mathbf{I}_k \end{aligned}$$



- Impedenze in parallelo

$$\begin{aligned} \mathbf{I} &= \sum_{k=1}^N \mathbf{I}_k & \mathbf{I} &= \mathbf{Y}_P \mathbf{V} \\ \mathbf{V}_k &= \mathbf{V} & \mathbf{Y}_P &= \sum_{k=1}^N \mathbf{Y}_K \\ \mathbf{I}_k &= \mathbf{Y}_k \mathbf{V}_k & \mathbf{Z}_P &= \frac{1}{\mathbf{Y}_P} = \frac{1}{\sum_{k=1}^N \frac{1}{\mathbf{Z}_k}} \end{aligned}$$

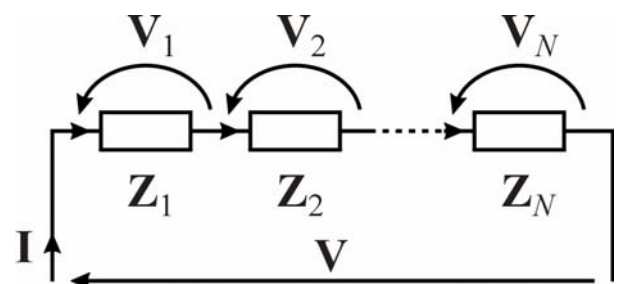


37

# Partitore di tensione e di corrente

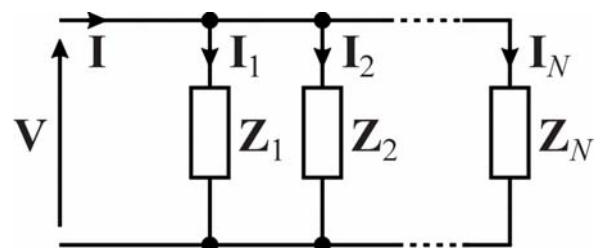
- Partitore di tensione

$$\mathbf{V}_j = \mathbf{V} \frac{\mathbf{Z}_j}{\sum_{k=1}^N \mathbf{Z}_k}$$



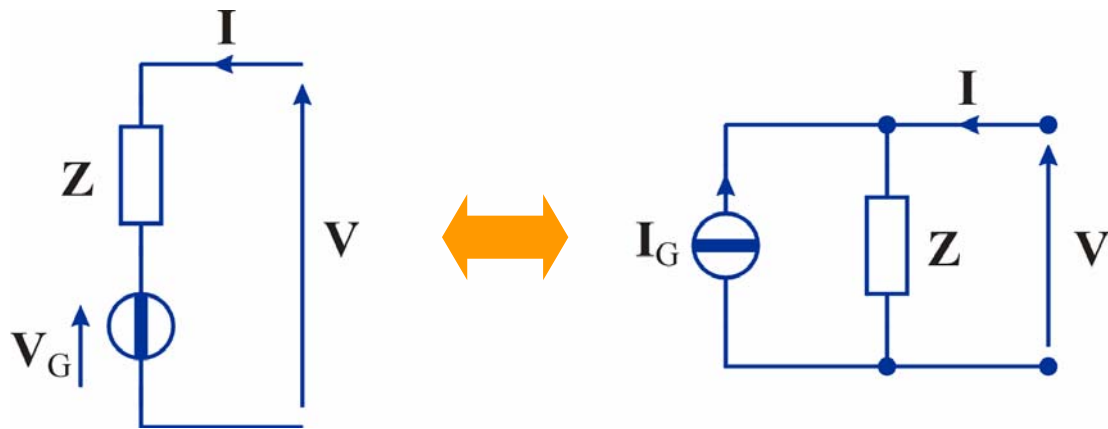
- Partitore di corrente

$$\mathbf{I}_j = \mathbf{I} \frac{\mathbf{Y}_j}{\sum_{k=1}^N \mathbf{Y}_k}$$



38

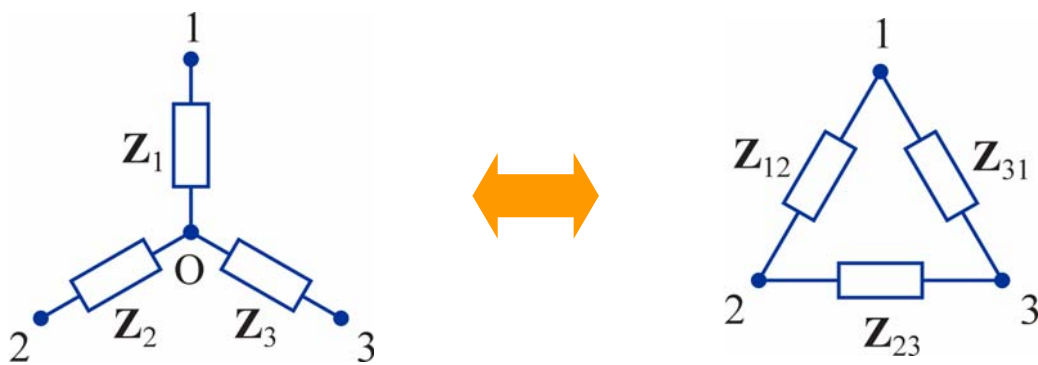
## Trasformazioni dei generatori



$$\mathbf{V}_G = \mathbf{Z}\mathbf{I}_G \quad \mathbf{I}_G = \mathbf{Y}\mathbf{V}_G$$

39

## Equivalenza stella-triangolo



$$\mathbf{Z}_1 = \frac{\mathbf{Z}_{12}\mathbf{Z}_{13}}{\mathbf{Z}_{12} + \mathbf{Z}_{13} + \mathbf{Z}_{23}}$$

$$\mathbf{Z}_2 = \frac{\mathbf{Z}_{12}\mathbf{Z}_{23}}{\mathbf{Z}_{12} + \mathbf{Z}_{13} + \mathbf{Z}_{23}}$$

$$\mathbf{Z}_3 = \frac{\mathbf{Z}_{13}\mathbf{Z}_{23}}{\mathbf{Z}_{12} + \mathbf{Z}_{13} + \mathbf{Z}_{23}}$$

$$\mathbf{Z}_{12} = \frac{\mathbf{Z}_1\mathbf{Z}_2 + \mathbf{Z}_1\mathbf{Z}_3 + \mathbf{Z}_2\mathbf{Z}_3}{\mathbf{Z}_3}$$

$$\mathbf{Z}_{13} = \frac{\mathbf{Z}_1\mathbf{Z}_2 + \mathbf{Z}_1\mathbf{Z}_3 + \mathbf{Z}_2\mathbf{Z}_3}{\mathbf{Z}_2}$$

$$\mathbf{Z}_{23} = \frac{\mathbf{Z}_1\mathbf{Z}_2 + \mathbf{Z}_1\mathbf{Z}_3 + \mathbf{Z}_2\mathbf{Z}_3}{\mathbf{Z}_1}$$

40

# Teorema di sovrapposizione

- **Ipotesi:**

- ◆ circuito lineare contenente
  - $N_V$  generatori indipendenti di tensione  $v_{G1}(t), \dots, v_{GN_V}(t)$
  - $N_I$  generatori indipendenti di corrente  $i_{G1}(t), \dots, i_{GN_I}(t)$
- ◆ tutti i generatori sono sinusoidali con la stessa pulsazione  $\omega$
- ◆ condizioni di regime sinusoidale

➔ I fasori della tensione e della corrente del generico lato  $i$  sono combinazioni lineari dei fasori delle tensioni e delle correnti impresse dai generatori indipendenti

$$\mathbf{V}_i = \sum_{k=1}^{N_V} \boldsymbol{\alpha}_{ik} \mathbf{V}_{Gk} + \sum_{k=1}^{N_I} \mathbf{z}_{ik} \mathbf{I}_{Gk}$$

$$\mathbf{I}_i = \sum_{k=1}^{N_V} \mathbf{y}_{ik} \mathbf{V}_{Gk} + \sum_{k=1}^{N_I} \boldsymbol{\beta}_{ik} \mathbf{I}_{Gk}$$

41

# Funzioni di rete

- I coefficienti delle combinazioni sono funzioni complesse della pulsazione  $\omega$  e sono detti **funzioni di rete**

$$\boldsymbol{\alpha}_{ik} = \left. \frac{\mathbf{V}_i}{\mathbf{V}_{Gk}} \right|_{\substack{\mathbf{V}_{Gh}=0 \forall h \neq k \\ \mathbf{I}_{Gh}=0 \forall h}}$$

(adimensionale)

$$\mathbf{z}_{ik} = \left. \frac{\mathbf{V}_i}{\mathbf{I}_{Gk}} \right|_{\substack{\mathbf{V}_{Gh}=0 \forall h \\ \mathbf{I}_{Gh}=0 \forall h \neq k}}$$

(ha le dimensioni di un'impedenza)

$$\mathbf{y}_{ik} = \left. \frac{\mathbf{I}_i}{\mathbf{V}_{Gk}} \right|_{\substack{\mathbf{V}_{Gh}=0 \forall h \neq k \\ \mathbf{I}_{Gh}=0 \forall h}}$$

(ha le dimensioni di un'ammettenza)

$$\boldsymbol{\beta}_{ik} = \left. \frac{\mathbf{I}_i}{\mathbf{I}_{Gk}} \right|_{\substack{\mathbf{V}_{Gh}=0 \forall h \\ \mathbf{I}_{Gh}=0 \forall h \neq k}}$$

(adimensionale)

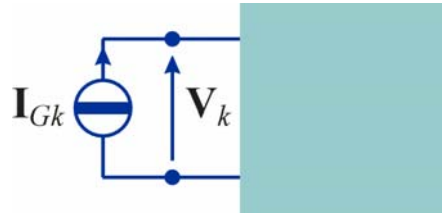
- Le funzioni di rete che mettono in relazione i fasori della tensione e della corrente dello stesso lato sono dette **funzioni di immettenza**
- Le funzioni di rete che mettono in relazione fasori di tensioni e correnti di lati diversi sono dette **funzioni di trasferimento**

42

## Funzioni di immettenza

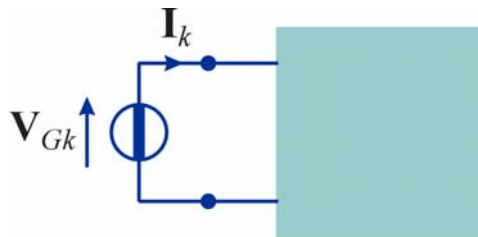
- Impedenza di ingresso

$$\mathbf{Z}_{INk}(\omega) = \frac{\mathbf{V}_k}{\mathbf{I}_{Gk}} \left| \begin{array}{l} \mathbf{V}_{Gh}=0 \forall h \\ \mathbf{I}_{Gh}=0 \forall h \neq k \end{array} \right.$$



- Ammettenza di ingresso

$$\mathbf{Y}_{INk}(\omega) = \frac{\mathbf{I}_k}{\mathbf{V}_{Gk}} \left| \begin{array}{l} \mathbf{V}_{Gh}=0 \forall h \neq k \\ \mathbf{I}_{Gh}=0 \forall h \end{array} \right.$$



43

## Funzioni di trasferimento

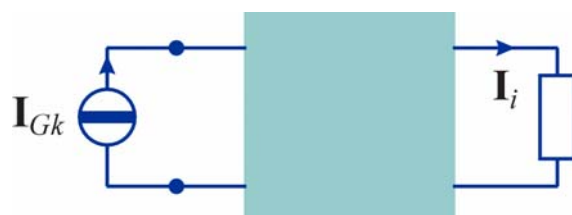
- Rapporto di trasferimento di tensione

$$\mathbf{a}_{ik}(\omega) = \frac{\mathbf{V}_i}{\mathbf{V}_{Gk}} \left| \begin{array}{l} \mathbf{V}_{Gh}=0 \forall h \neq k \\ \mathbf{I}_{Gh}=0 \forall h \end{array} \right.$$



- Rapporto di trasferimento di corrente

$$\mathbf{\beta}_{ik}(\omega) = \frac{\mathbf{I}_i}{\mathbf{I}_{Gk}} \left| \begin{array}{l} \mathbf{V}_{Gh}=0 \forall h \\ \mathbf{I}_{Gh}=0 \forall h \neq k \end{array} \right.$$



44

## Funzioni di trasferimento

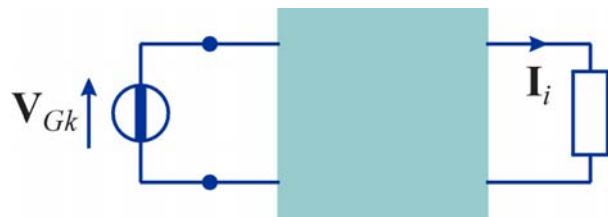
### • Impedenza di trasferimento

$$\mathbf{z}_{ik}(\omega) = \frac{\mathbf{V}_i}{\mathbf{I}_{Gk}} \left| \begin{array}{l} \mathbf{V}_{Gh}=0 \forall h \\ \mathbf{I}_{Gh}=0 \forall h \neq k \end{array} \right.$$



### • Ammettenza di trasferimento

$$\mathbf{y}_{ik}(\omega) = \frac{\mathbf{I}_i}{\mathbf{V}_{Gk}} \left| \begin{array}{l} \mathbf{V}_{Gh}=0 \forall h \neq k \\ \mathbf{I}_{Gh}=0 \forall h \end{array} \right.$$



45

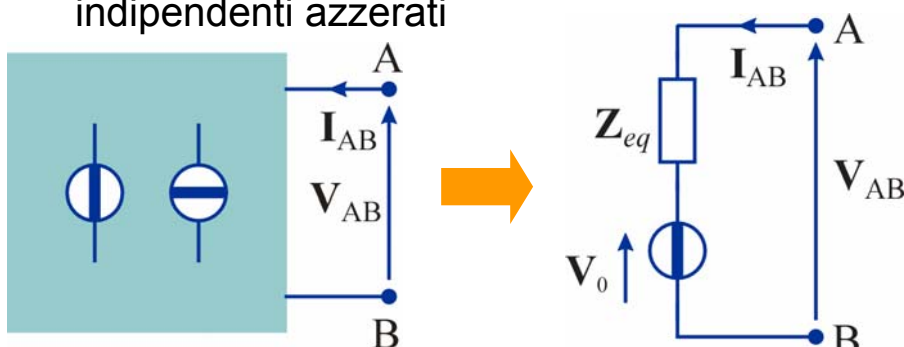
## Teorema di Thévenin

### • Ipotesi:

- ◆ condizioni di regime sinusoidale
- ◆ il bipolo A-B è formato da componenti lineari e generatori indipendenti
- ◆ il bipolo A-B è comandato in corrente

➔ Il bipolo A-B equivale a un bipolo formato da un generatore indipendente di tensione  $\mathbf{V}_0$  in serie con un'impedenza  $\mathbf{Z}_{eq}$

- ◆  $\mathbf{V}_0$  è la tensione a vuoto del bipolo A-B
- ◆  $\mathbf{Z}_{eq}$  è l'impedenza equivalente del bipolo A-B con i generatori indipendenti azzerati



$$\mathbf{V}_{AB} = \mathbf{V}_0 + \mathbf{Z}_{eq} \mathbf{I}_{AB}$$

46

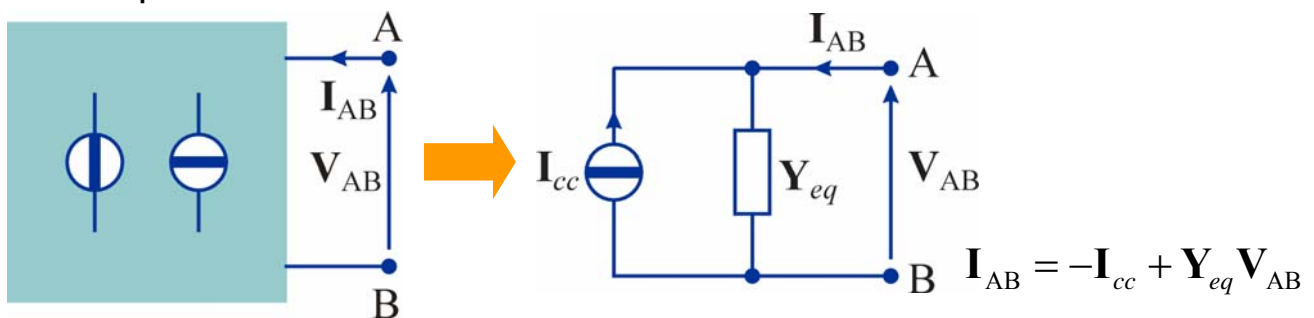
## Teorema di Norton

- **Ipotesi:**

- ◆ condizioni di regime sinusoidale
- ◆ il bipolo A-B è formato da componenti lineari e generatori indipendenti
- ◆ il bipolo A-B è comandato in tensione

➔ Il bipolo A-B equivale a un bipolo formato da un generatore indipendente di corrente  $\mathbf{I}_{cc}$  in parallelo con un'ammettenza  $\mathbf{Y}_{eq}$

- ◆  $\mathbf{I}_{cc}$  è la corrente di cortocircuito del bipolo A-B
- ◆  $\mathbf{Y}_{eq}$  è l'ammettenza equivalente del bipolo A-B con i generatori indipendenti azzerati



47

## N-porte lineari in regime sinusoidale

- Per un  $N$ -porte lineare in condizioni di regime sinusoidale le relazioni costitutive, in termini di fasori, sono del tipo

$$\mathbf{A}\mathbf{v} + \mathbf{B}\mathbf{i} = \mathbf{0}$$

con

$$\mathbf{v} = \begin{bmatrix} \mathbf{V}_1 \\ \vdots \\ \mathbf{V}_N \end{bmatrix} \quad \mathbf{i} = \begin{bmatrix} \mathbf{I}_1 \\ \vdots \\ \mathbf{I}_N \end{bmatrix} \quad \mathbf{A} = \begin{bmatrix} \mathbf{a}_{11} & \cdots & \mathbf{a}_{1N} \\ \vdots & \ddots & \vdots \\ \mathbf{a}_{N1} & \cdots & \mathbf{a}_{NN} \end{bmatrix} \quad \mathbf{B} = \begin{bmatrix} \mathbf{b}_{11} & \cdots & \mathbf{b}_{1N} \\ \vdots & \ddots & \vdots \\ \mathbf{b}_{N1} & \cdots & \mathbf{b}_{NN} \end{bmatrix}$$

- Nel caso di componenti resistivi i coefficienti delle matrici  $\mathbf{A}$  e  $\mathbf{B}$  sono reali, mentre nel caso di componenti dinamici, in generale, sono complessi
- Se il componente è comandato in corrente oppure in tensione è possibile rappresentarlo mediante **parametri di impedenza o di ammettenza** che costituiscono una generalizzazione dei parametri di resistenza e di conduttanza

48

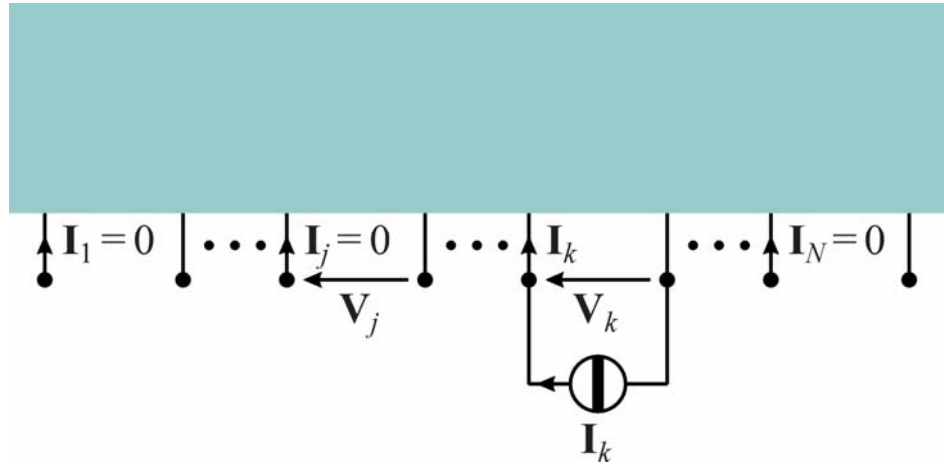


# Matrice di impedenza

- Matrice di impedenza

$$\mathbf{v} = \mathbf{Z}\mathbf{i} \quad \mathbf{v} = \begin{bmatrix} \mathbf{V}_1 \\ \vdots \\ \mathbf{V}_N \end{bmatrix} \quad \mathbf{i} = \begin{bmatrix} \mathbf{I}_1 \\ \vdots \\ \mathbf{I}_N \end{bmatrix} \quad \mathbf{Z} = \begin{bmatrix} \mathbf{z}_{11} & \cdots & \mathbf{z}_{1N} \\ \vdots & \ddots & \vdots \\ \mathbf{z}_{N1} & \cdots & \mathbf{z}_{NN} \end{bmatrix}$$

$$\mathbf{z}_{jk} = \left. \frac{\mathbf{V}_j}{\mathbf{I}_k} \right|_{\mathbf{I}_h=0 \forall h \neq k}$$

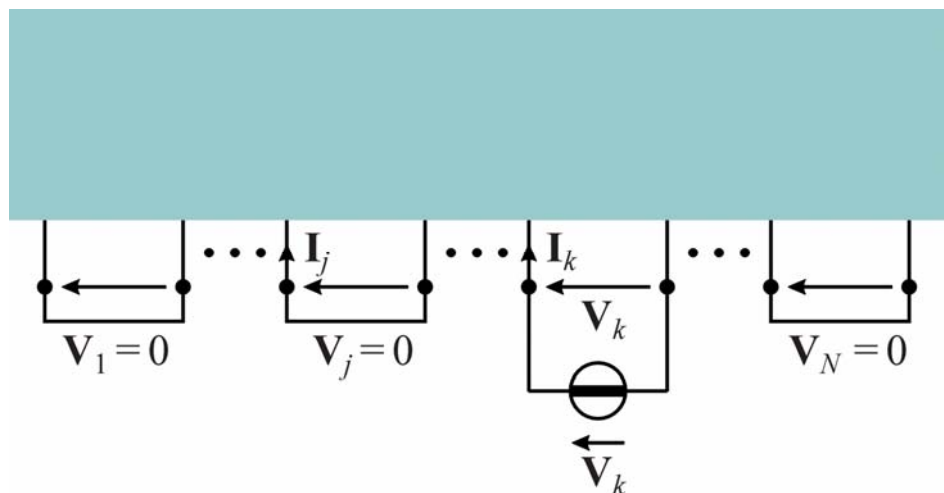


# Matrice di ammettenza

- Matrice di ammettenza

$$\mathbf{i} = \mathbf{Y}\mathbf{v} \quad \mathbf{v} = \begin{bmatrix} \mathbf{V}_1 \\ \vdots \\ \mathbf{V}_N \end{bmatrix} \quad \mathbf{i} = \begin{bmatrix} \mathbf{I}_1 \\ \vdots \\ \mathbf{I}_N \end{bmatrix} \quad \mathbf{Y} = \begin{bmatrix} \mathbf{y}_{11} & \cdots & \mathbf{y}_{1N} \\ \vdots & \ddots & \vdots \\ \mathbf{y}_{N1} & \cdots & \mathbf{y}_{NN} \end{bmatrix}$$

$$\mathbf{y}_{jk} = \left. \frac{\mathbf{I}_j}{\mathbf{V}_k} \right|_{\mathbf{V}_h=0 \forall h \neq k}$$



## Doppi bipoli lineari in regime sinusoidale

- Per i doppi bipoli lineari in regime sinusoidale è possibile generalizzare anche le matrici ibride e di trasmissione
- Nel caso di componenti dinamici i coefficienti delle matrici, in generale, sono complessi

$$\begin{bmatrix} \mathbf{V}_1 \\ \mathbf{I}_2 \end{bmatrix} = \begin{bmatrix} \mathbf{h}_{11} & \mathbf{h}_{12} \\ \mathbf{h}_{21} & \mathbf{h}_{22} \end{bmatrix} \cdot \begin{bmatrix} \mathbf{I}_1 \\ \mathbf{V}_2 \end{bmatrix} = \mathbf{H} \cdot \begin{bmatrix} \mathbf{I}_1 \\ \mathbf{V}_2 \end{bmatrix}$$

Matrice ibrida

$$\begin{bmatrix} \mathbf{I}_1 \\ \mathbf{V}_2 \end{bmatrix} = \begin{bmatrix} \mathbf{h}'_{11} & \mathbf{h}'_{12} \\ \mathbf{h}'_{21} & \mathbf{h}'_{22} \end{bmatrix} \cdot \begin{bmatrix} \mathbf{V}_1 \\ \mathbf{I}_2 \end{bmatrix} = \mathbf{H}' \cdot \begin{bmatrix} \mathbf{V}_1 \\ \mathbf{I}_2 \end{bmatrix}$$

Matrice ibrida inversa

$$\begin{bmatrix} \mathbf{V}_1 \\ \mathbf{I}_1 \end{bmatrix} = \begin{bmatrix} \mathbf{A} & \mathbf{B} \\ \mathbf{C} & \mathbf{D} \end{bmatrix} \cdot \begin{bmatrix} \mathbf{V}_2 \\ -\mathbf{I}_2 \end{bmatrix} = \mathbf{T} \cdot \begin{bmatrix} \mathbf{V}_2 \\ -\mathbf{I}_2 \end{bmatrix}$$

Matrice di trasmissione  
(matrice catena)

$$\begin{bmatrix} \mathbf{V}_2 \\ \mathbf{I}_2 \end{bmatrix} = \begin{bmatrix} \mathbf{A}' & \mathbf{B}' \\ \mathbf{C}' & \mathbf{D}' \end{bmatrix} \cdot \begin{bmatrix} \mathbf{V}_1 \\ -\mathbf{I}_1 \end{bmatrix} = \mathbf{T}' \cdot \begin{bmatrix} \mathbf{V}_1 \\ -\mathbf{I}_1 \end{bmatrix}$$

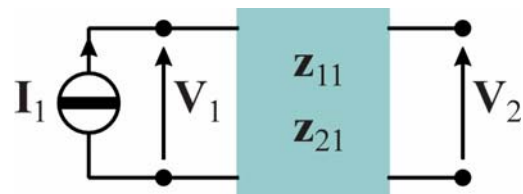
Matrice di trasmissione inversa  
(matrice catena inversa)

51

## Significato dei parametri di impedenza

$$\mathbf{z}_{11} = \left. \frac{\mathbf{V}_1}{\mathbf{I}_1} \right|_{\mathbf{I}_2=0}$$

$$\mathbf{z}_{21} = \left. \frac{\mathbf{V}_2}{\mathbf{I}_1} \right|_{\mathbf{I}_2=0}$$

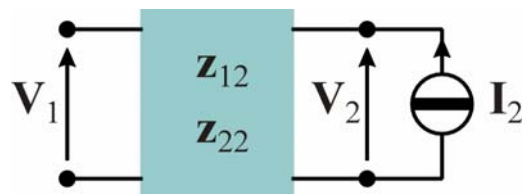


➔  $\mathbf{z}_{11}$  = impedenza di ingresso a vuoto alla porta 1

➔  $\mathbf{z}_{21}$  = impedenza di trasferimento a vuoto dalla porta 1 alla porta 2

$$\mathbf{z}_{22} = \left. \frac{\mathbf{V}_2}{\mathbf{I}_2} \right|_{\mathbf{I}_1=0}$$

$$\mathbf{z}_{12} = \left. \frac{\mathbf{V}_1}{\mathbf{I}_2} \right|_{\mathbf{I}_1=0}$$



➔  $\mathbf{z}_{22}$  = impedenza di ingresso a vuoto alla porta 2

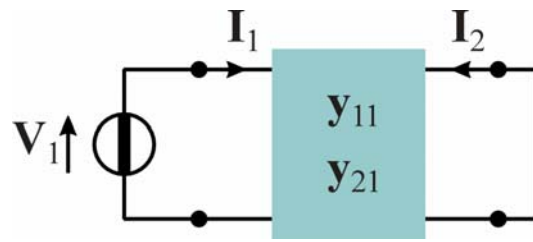
➔  $\mathbf{z}_{12}$  = impedenza di trasferimento a vuoto dalla porta 2 alla porta 1

52

## Significato dei parametri di ammettenza

$$y_{11} = \left. \frac{I_1}{V_1} \right|_{V_2=0}$$

$$y_{21} = \left. \frac{I_2}{V_1} \right|_{V_2=0}$$

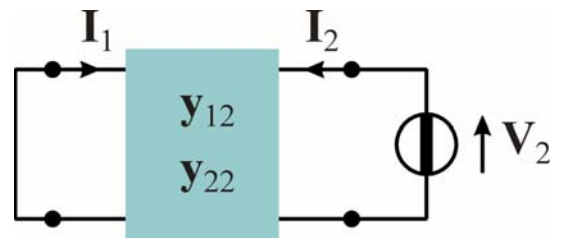


➔  $y_{11}$  = ammettenza di ingresso in cortocircuito alla porta 1

➔  $y_{21}$  = ammettenza di trasferimento in cortocircuito dalla porta 1 alla porta 2

$$y_{22} = \left. \frac{I_2}{V_2} \right|_{V_1=0}$$

$$y_{12} = \left. \frac{I_1}{V_2} \right|_{V_1=0}$$



➔  $y_{22}$  = ammettenza di ingresso in cortocircuito alla porta 2

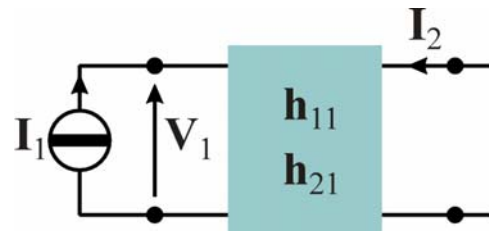
➔  $y_{12}$  = ammettenza di trasferimento in cortocircuito dalla porta 2 alla porta 1

53

## Significato dei parametri ibridi

$$h_{11} = \left. \frac{V_1}{I_1} \right|_{V_2=0}$$

$$h_{21} = \left. \frac{I_2}{I_1} \right|_{V_2=0}$$

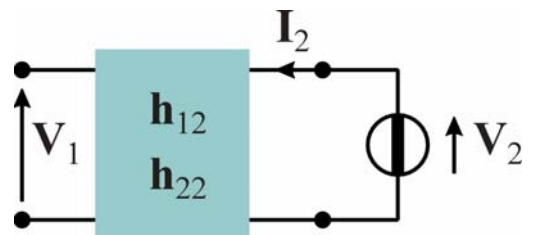


➔  $h_{11}$  = impedenza di ingresso in cortocircuito alla porta 1

➔  $h_{21}$  = rapporto di trasferimento di corrente in cortocircuito dalla porta 1 alla porta 2

$$h_{12} = \left. \frac{V_1}{V_2} \right|_{I_1=0}$$

$$h_{22} = \left. \frac{I_2}{V_2} \right|_{I_1=0}$$

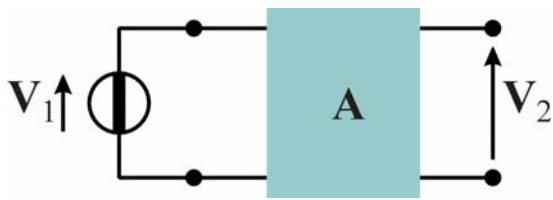


➔  $h_{22}$  = ammettenza di ingresso a vuoto alla porta 2

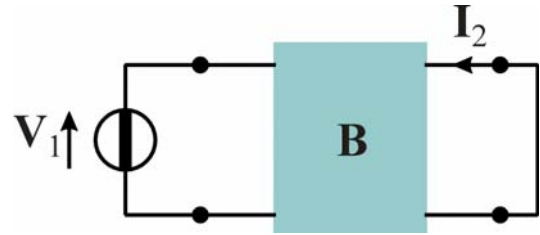
➔  $h_{12}$  = rapporto di trasferimento di tensione a vuoto dalla porta 2 alla porta 1

54

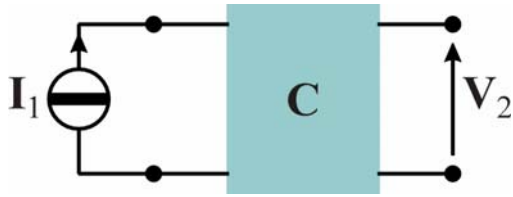
## Significato dei parametri di trasmissione



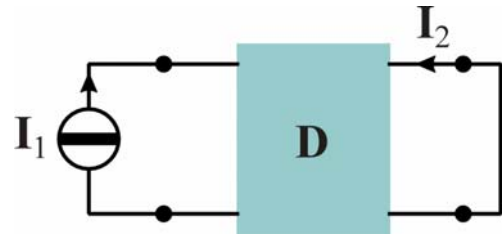
$$\frac{1}{A} = \frac{V_2}{V_1} \Big|_{I_2=0}$$



$$\frac{1}{B} = \frac{-I_2}{V_1} \Big|_{V_2=0}$$



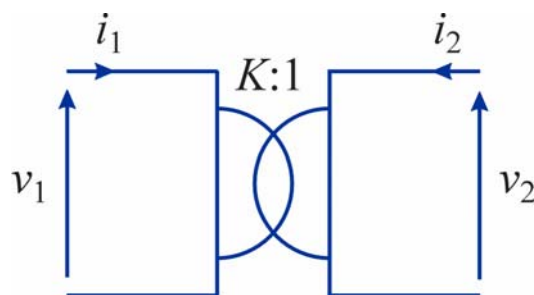
$$\frac{1}{C} = \frac{V_2}{I_1} \Big|_{I_2=0}$$



$$\frac{1}{D} = \frac{-I_2}{I_1} \Big|_{V_2=0}$$

55

## Trasformatore ideale in regime sinusoidale



$$v_1 = K v_2$$

$$V_1 = K V_2$$

$$i_1 = -\frac{1}{K} i_2$$

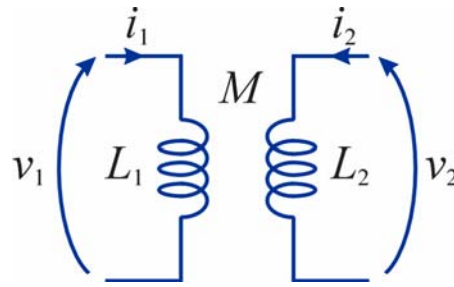


$$I_1 = -\frac{1}{K} I_2$$

- Le tensioni alla porta 1 e alla porta 2 sono in fase tra loro
- Le correnti alla porta 1 e alla porta 2 sono in opposizione di fase

56

## Induttori accoppiati in regime sinusoidale



$$v_1(t) = L_1 \frac{di_1(t)}{dt} + M \frac{di_2(t)}{dt}$$

$$v_2(t) = M \frac{di_1(t)}{dt} + L_2 \frac{di_2(t)}{dt}$$



$$\mathbf{V}_1 = j\omega L_1 \mathbf{I}_1 + j\omega M \mathbf{I}_2$$

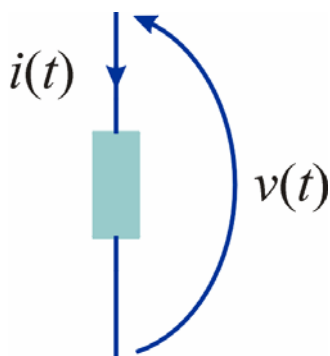
$$\mathbf{V}_2 = j\omega M \mathbf{I}_1 + j\omega L_2 \mathbf{I}_2$$

- Le equazioni sono un caso particolare di rappresentazione mediante di coefficienti di impedenza

$$\begin{bmatrix} \mathbf{V}_1 \\ \mathbf{V}_2 \end{bmatrix} = \begin{bmatrix} j\omega L_1 & j\omega M \\ j\omega M & j\omega L_2 \end{bmatrix} \cdot \begin{bmatrix} \mathbf{I}_1 \\ \mathbf{I}_2 \end{bmatrix} = \mathbf{Z} \cdot \begin{bmatrix} \mathbf{I}_1 \\ \mathbf{I}_2 \end{bmatrix}$$

57

## Potenza assorbita da un bipolo in regime sinusoidale



$$v(t) = V_M \cos(\omega t + \varphi_V)$$

$$i(t) = I_M \cos(\omega t + \varphi_I)$$

$$\varphi = \varphi_V - \varphi_I$$

- Potenza assorbita dal bipolo**

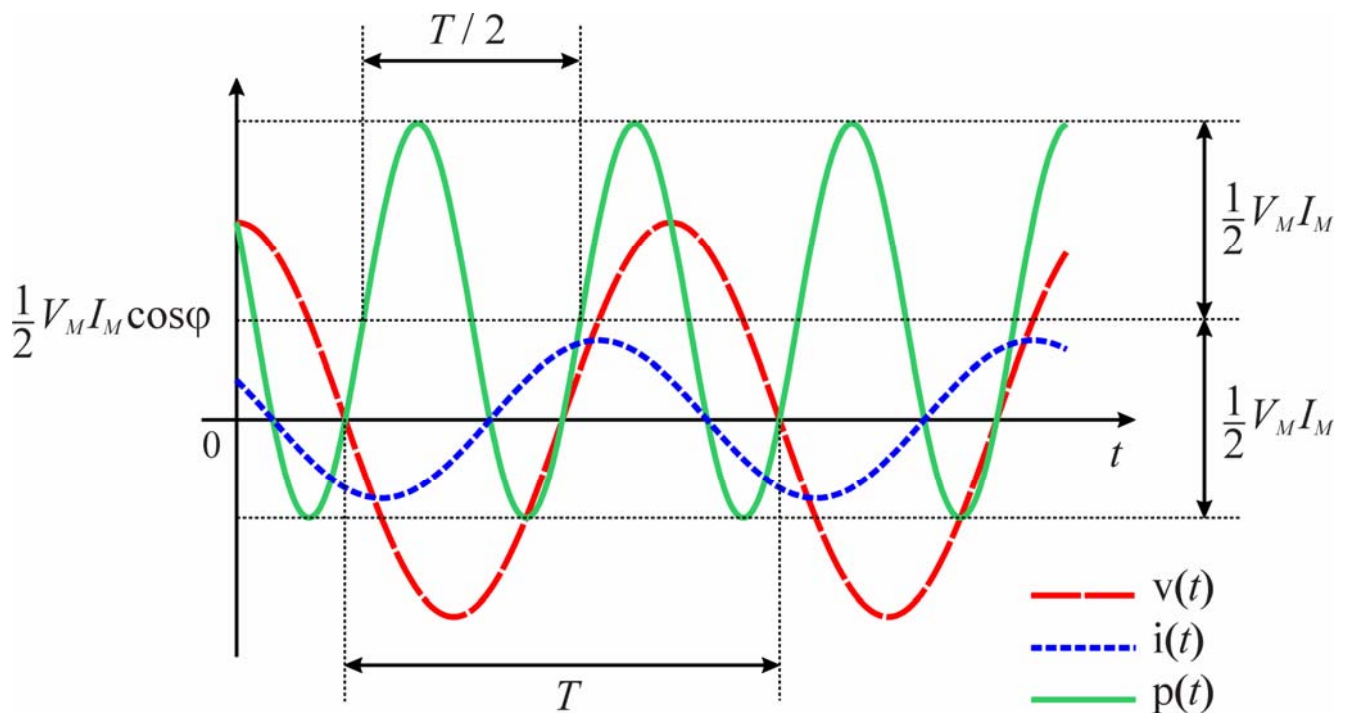
$$p(t) = v(t)i(t) = V_M \cos(\omega t + \varphi_V) \cdot I_M \cos(\omega t + \varphi_I) =$$

$$= \frac{1}{2} V_M I_M [\cos(2\omega t + \varphi_V + \varphi_I) + \cos(\varphi_V - \varphi_I)] =$$

$$= \frac{1}{2} V_M I_M \cos(2\omega t + \varphi_V + \varphi_I) + \frac{1}{2} V_M I_M \cos \varphi$$

58

## Potenza assorbita da un bipolo in regime sinusoidale



59

## Potenza assorbita da un bipolo in regime sinusoidale

- La potenza è data dalla somma di un termine sinusoidale con pulsazione  $2\omega$  (**potenza fluttuante**) e di un termine costante
- L'ampiezza del termine oscillante è  $\frac{1}{2} V_M I_M$
- Il termine costante rappresenta il **valore medio sul periodo** della potenza istantanea

$$p_m = \frac{1}{T} \int_0^T p(t) dt = \frac{1}{2} V_M I_M \cos \varphi$$

- $\cos \varphi$  è detto **fattore di potenza**
  - ◆ Il fattore di potenza è il rapporto tra il termine costante e l'ampiezza del termine oscillante
  - ◆ A parità di ampiezza di  $v$  e  $i$ , il valore medio sul periodo della potenza istantanea aumenta al crescere del fattore di potenza

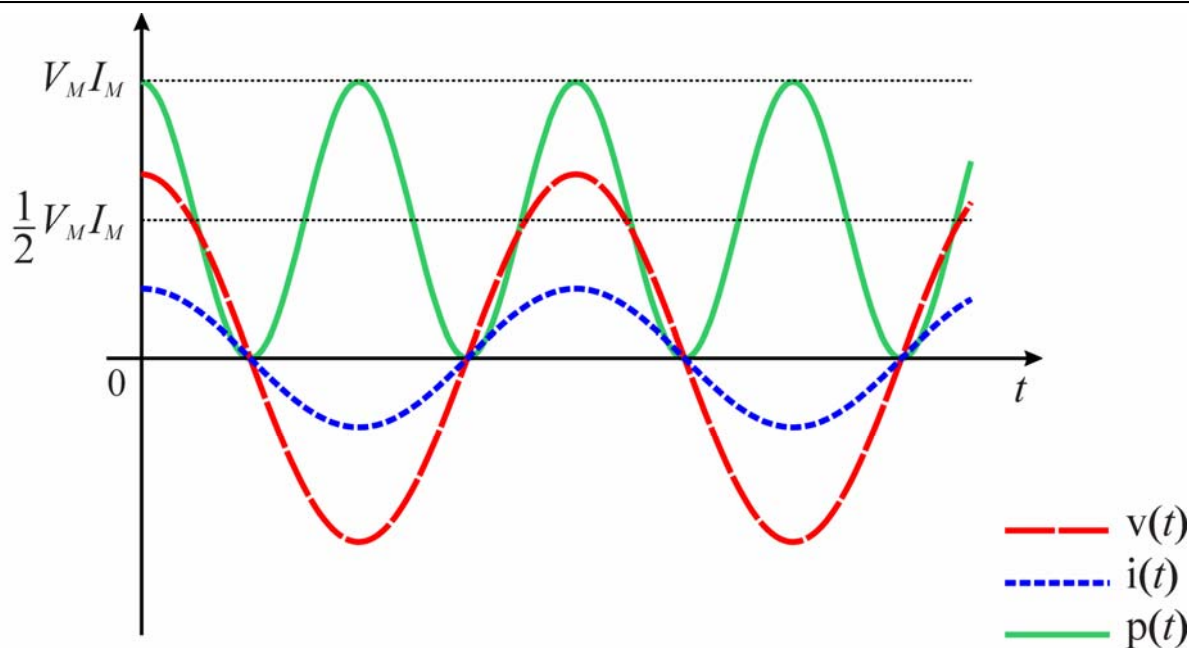
60

## Potenza assorbita da un bipolo in regime sinusoidale

- Il fattore di potenza  $\cos\varphi$  vale 1 se la tensione e la corrente sono in fase ( $\varphi = 0$ )
- Aumentando  $|\varphi|$  il fattore di potenza si riduce fino ad annullarsi quando tensione e corrente sono in quadratura
- Per  $|\varphi| > \pi/2$  il fattore di potenza diventa negativo e vale  $-1$  se la tensione e la corrente sono in opposizione di fase
- $\cos\varphi > 0 \rightarrow$  in ogni semiperiodo l'energia assorbita dal bipolo è  $> 0$
- $\cos\varphi < 0 \rightarrow$  in ogni semiperiodo l'energia assorbita dal bipolo è  $< 0$ 
  - $\rightarrow$  questa condizione si può verificare solo se il bipolo è attivo
  - $\rightarrow$  per un bipolo passivo si ha necessariamente  $\cos\varphi \geq 0$

61

## Potenza assorbita da un resistore

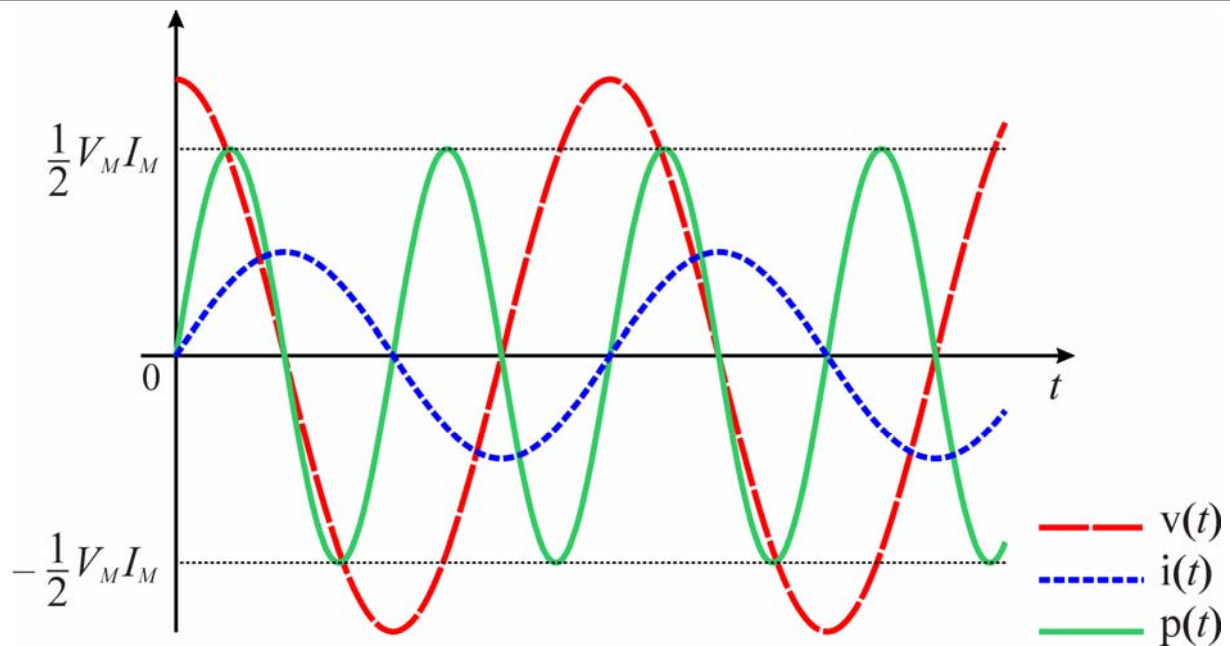


$$p(t) = \frac{1}{2} V_M I_M [1 + \cos(2\omega t + 2\varphi_V)]$$

$$\varphi = 0 \quad \rightarrow \quad P_m = \frac{1}{2} V_M I_M = \frac{1}{2} R I_M^2 = \frac{1}{2} G V_M^2$$

62

## Potenza assorbita da un induttore

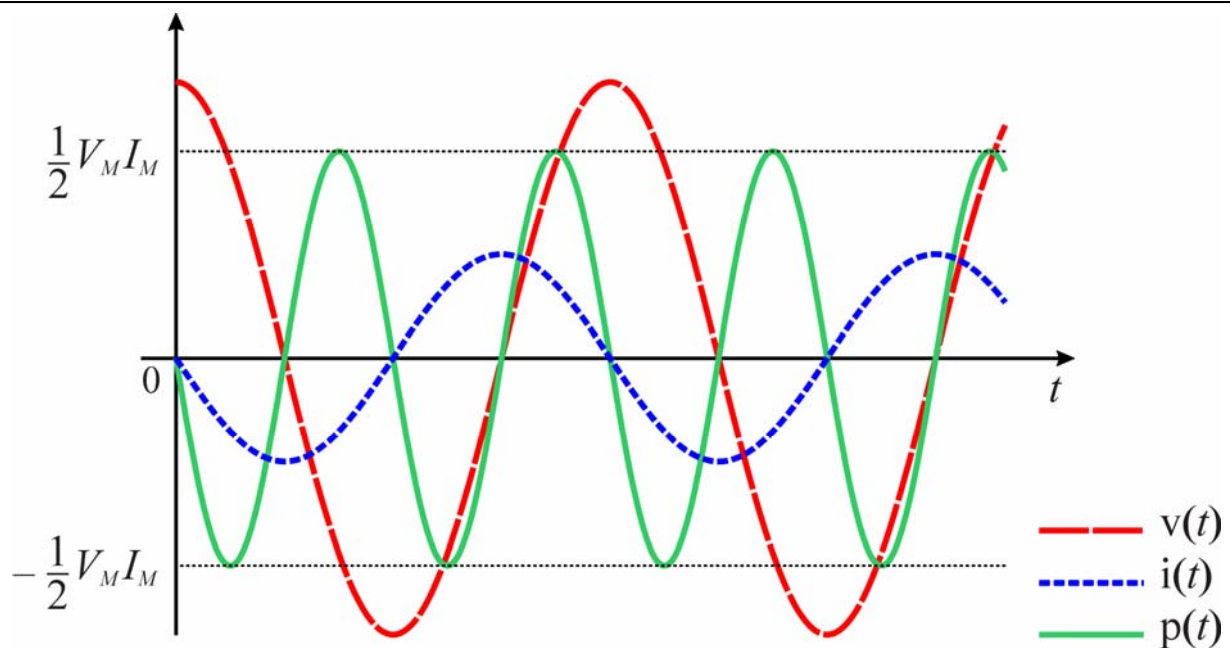


$$p(t) = \frac{1}{2} V_M I_M \cos\left(2\omega t + 2\varphi_V - \frac{\pi}{2}\right) = \frac{1}{2} \omega L I_M^2 \cos\left(2\omega t + 2\varphi_V - \frac{\pi}{2}\right)$$

$$\varphi = \frac{\pi}{2} \Rightarrow p_m = \frac{1}{2} V_M I_M \cos \varphi = 0$$

63

## Potenza assorbita da un condensatore



$$p(t) = \frac{1}{2} V_M I_M \cos\left(2\omega t + 2\varphi_V + \frac{\pi}{2}\right) = \frac{1}{2} \omega C V_M^2 \cos\left(2\omega t + 2\varphi_V + \frac{\pi}{2}\right)$$

$$\varphi = -\frac{\pi}{2} \Rightarrow p_m = \frac{1}{2} V_M I_M \cos \varphi = 0$$

64



## Componenti attiva e reattiva della corrente

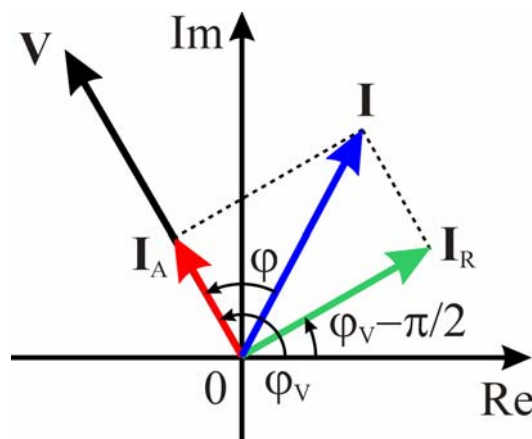
- Nel caso generale, si può scomporre la corrente istantanea nella somma di due termini:
  - ♦ uno in fase con la tensione (come nei resistori)
  - ➔ **componente attiva:**  $i_A(t)$
  - ♦ uno in quadratura con la tensione (come negli induttori e nei condensatori)
  - ➔ **componente reattiva:**  $i_R(t)$

$$\begin{aligned}
 i(t) &= I_M \cos(\omega t + \varphi_I) = \\
 &= I_M \cos[(\omega t + \varphi_V) - \underbrace{(\varphi_V - \varphi_I)}_{\varphi}] = \\
 &= I_M \cos \varphi \cos(\omega t + \varphi_V) + I_M \sin \varphi \sin(\omega t + \varphi_V) = \\
 &= \underbrace{I_M \cos \varphi \cos(\omega t + \varphi_V)}_{i_A(t)} + \underbrace{I_M \sin \varphi \cos(\omega t + \varphi_V - \pi/2)}_{i_R(t)}
 \end{aligned}$$

65

## Componenti attiva e reattiva della corrente

### Rappresentazione nel piano complesso



$$\mathbf{I}_A = I_M \cos \varphi e^{j\varphi_V}$$

$$\mathbf{I}_R = I_M \sin \varphi e^{j\left(\varphi_V - \frac{\pi}{2}\right)} = -j I_M \sin \varphi e^{j\varphi_V}$$

66

## Potenza istantanea attiva e reattiva

- Scomposizione della potenza istantanea

$$p(t) = v(t)[i_A(t) + i_R(t)] = v(t)i_A(t) + v(t)i_R(t) = p_A(t) + p_R(t)$$

- **Potenza istantanea attiva**

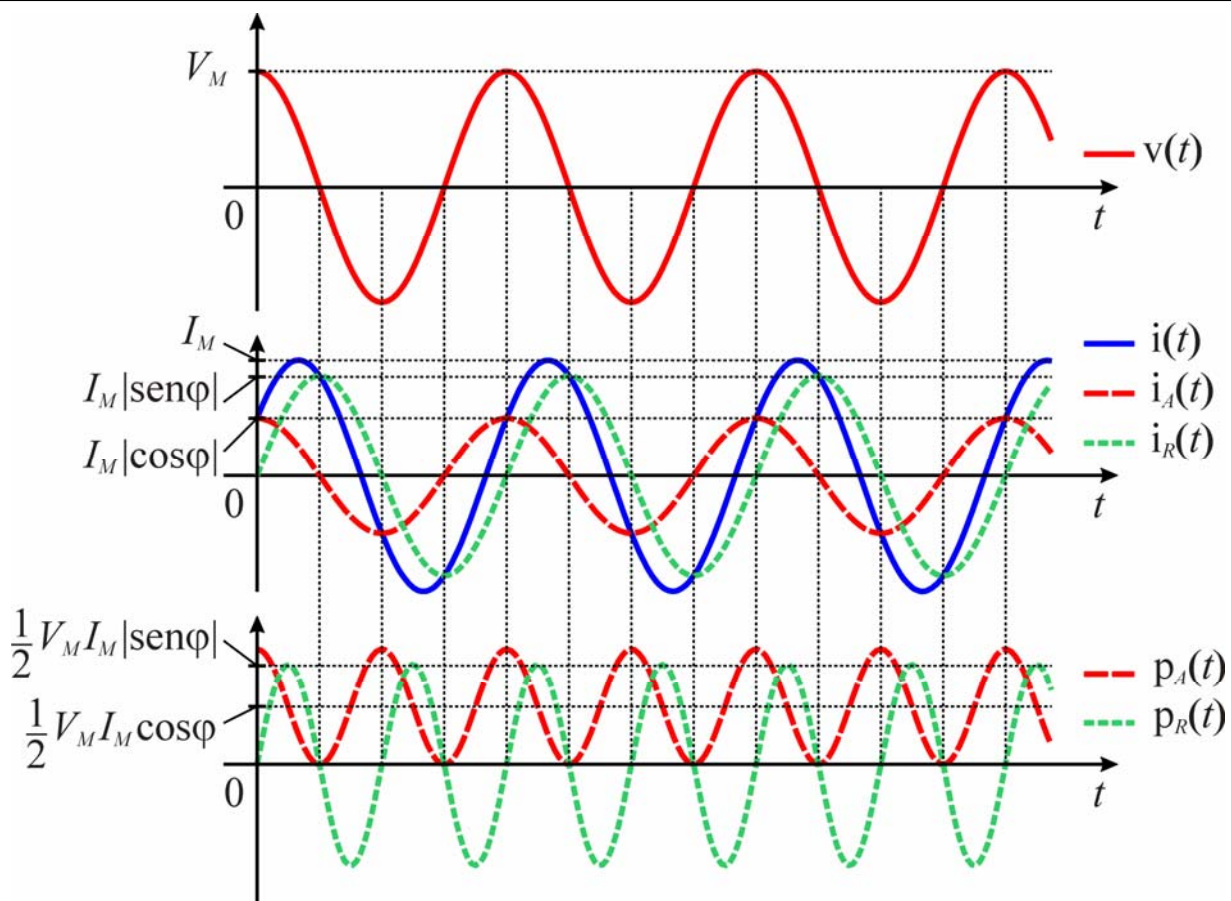
$$\begin{aligned} p_A(t) &= V_M \cos(\omega t + \varphi_V) \cdot I_M \cos \varphi \cos(\omega t + \varphi_V) = \\ &= V_M I_M \cos \varphi [\cos(\omega t + \varphi_V)]^2 = \\ &= \frac{1}{2} V_M I_M \cos \varphi [1 + \cos(2\omega t + 2\varphi_V)] \end{aligned}$$

- **Potenza istantanea reattiva**

$$\begin{aligned} p_R(t) &= V_M \cos(\omega t + \varphi_V) \cdot I_M \sin \varphi \sin(\omega t + \varphi_V) = \\ &= \frac{1}{2} V_M I_M \sin \varphi \sin(2\omega t + 2\varphi_V) \end{aligned}$$

67

## Potenza istantanea attiva e reattiva



68

## Potenza istantanea attiva e reattiva

- La potenza istantanea attiva non cambia mai segno (se  $\cos\varphi > 0$  è sempre  $\geq 0$ )
  - ➔ flusso unidirezionale di energia (dall'esterno verso il bipolo se  $\cos\varphi > 0$ )
- La potenza istantanea reattiva è una funzione sinusoidale del tempo con pulsazione  $2\omega$ 
  - ➔ l'energia ad essa associata fluisce alternativamente dall'esterno verso il bipolo e viceversa
  - ➔ in un intervallo di durata pari a un semiperiodo di  $v$  e  $i$ , l'energia complessivamente scambiata tra il circuito e il bipolo è nulla

69

## Potenza attiva

- **Potenza attiva:**  
valore medio sul periodo della potenza istantanea attiva  
= valore medio sul periodo della potenza istantanea  
(unità di misura watt, W)
$$P = \frac{1}{T} \int_0^T p_A(t) dt = \frac{1}{T} \int_0^T p(t) dt = \frac{1}{2} V_M I_M \cos \varphi$$
- Un intervallo  $\Delta t \gg T$  può essere approssimato con un numero intero di periodi
  - ➔ L'energia assorbita da un bipolo in un intervallo di durata molto grande rispetto al periodo può essere ottenuta dalla relazione
$$w_a(0, \Delta t) \cong P \Delta t$$

70

## Potenza reattiva

- **Potenza reattiva:** valore massimo della potenza istantanea reattiva col segno di  $\varphi$

$$Q = \max[p_R(t)] \operatorname{sgn}(\varphi) = \frac{1}{2} V_M I_M \operatorname{sen} \varphi$$

- L'unità di misura della potenza reattiva è il volt-ampere reattivo (VAR)
- $Q$  è un indice dell'entità degli scambi energetici associati alla potenza istantanea reattiva
- Convenzionalmente si attribuisce
  - ◆ segno + alla potenza reattiva assorbita dagli induttori
  - ◆ segno – alla potenza reattiva assorbita dai condensatori

71

## Potenza apparente

- **Potenza apparente:** è definita dalla relazione

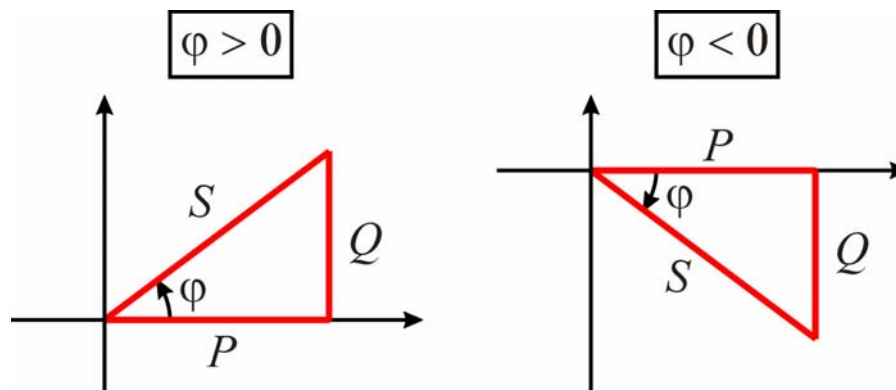
$$S = \frac{1}{2} V_M I_M$$

- L'unità di misura della potenza apparente è il volt-ampere (VA)
- La potenza apparente coincide con l'ampiezza del termine oscillante della potenza istantanea
- $S$  dipende solo dalle ampiezze della tensione e della corrente

72

## Triangolo delle potenze

- Rappresentazione grafica delle relazioni tra potenza attiva reattiva e apparente



$$S = \sqrt{P^2 + Q^2}$$

$$P = S \cos \varphi$$

$$Q = S \sin \varphi$$

$$Q = P \operatorname{tg} \varphi$$

73

## Potenza complessa

- Si definisce **potenza complessa** la quantità

$$\mathbf{N} = \frac{1}{2} \mathbf{V} \mathbf{I}^* \quad (\mathbf{I}^* \text{ indica il coniugato di } \mathbf{I})$$

- Inserendo le espressioni di  $\mathbf{V}$  e  $\mathbf{I}$  si ottiene

$$\mathbf{N} = \frac{1}{2} V_M e^{j\varphi_V} \cdot I_M e^{-j\varphi_I} = \frac{1}{2} V_M I_M e^{j\varphi} =$$

$$= \frac{1}{2} V_M I_M \cos \varphi + j \frac{1}{2} V_M I_M \sin \varphi = P + jQ$$

- Quindi si ha

$$\operatorname{Re}[\mathbf{N}] = \frac{1}{2} V_M I_M \cos \varphi = P$$

$$|\mathbf{N}| = \frac{1}{2} V_M I_M = S$$

$$\operatorname{Im}[\mathbf{N}] = \frac{1}{2} V_M I_M \sin \varphi = Q$$

$$\arg(\mathbf{N}) = \varphi$$

74

## Conservazione delle potenze complesse (Teorema di Boucherot)

### Ipotesi:

- ◆ Circuito con  $l$  lati
  - ◆ Versi di riferimento scelti per tutti i lati secondo la convenzione dell'utilizzatore
  - ◆ Condizioni di regime sinusoidale
  - ◆  $\mathbf{V}_k, \mathbf{I}_k$  ( $k = 1, \dots, l$ ) = fasori delle tensioni e delle correnti
- ➔ La somma delle potenze complesse assorbite dai componenti del circuito è nulla
- ➔ Le somme delle potenze attive e delle potenze reattive assorbite dai componenti sono nulle

$$\sum_{k=1}^l \mathbf{N}_k = \sum_{k=1}^l \frac{1}{2} \mathbf{V}_k \mathbf{I}_k^* = 0 \quad \Rightarrow \quad \sum_{k=1}^l P_k = 0 \quad \sum_{k=1}^l Q_k = 0$$

### Dimostrazione:

- ◆ I fasori  $\mathbf{V}_k$  e  $\mathbf{I}_k$  soddisfano le leggi di Kirchhoff. Se i fasori delle correnti soddisfano la LKI, anche i loro coniugati la soddisfano
- ➔ La proprietà deriva direttamente dal teorema di Tellegen

75

## Additività delle potenze complesse

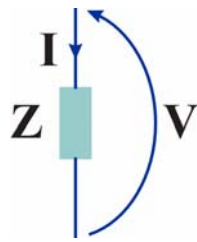
- Si assume che il lato  $l$  del circuito sia costituito da un bipolo
- Si divide il circuito in due parti
  - ◆ una formata dal solo lato  $l$
  - ◆ una formata dagli altri lati (che complessivamente costituiscono un bipolo)
- Per il teorema di Boucherot vale la relazione

$$-\mathbf{N}_l = \sum_{k=1}^{l-1} \mathbf{N}_k \Rightarrow -P_l = \sum_{k=1}^{l-1} P_k, \quad -Q_l = \sum_{k=1}^{l-1} Q_k$$

- $-\mathbf{N}_l$  è la potenza erogata dal bipolo  $l$ , cioè la potenza assorbita dal bipolo formato dagli altri componenti
- ➔ La potenza complessa assorbita da un bipolo formato da più componenti collegati tra loro è pari alla somma delle potenze assorbite dai singoli componenti
- ➔ La stessa proprietà vale per le potenze attive e per le potenze reattive

76

## Potenza complessa in funzione di Z e Y



$$\mathbf{V} = \mathbf{Z}\mathbf{I} = (R + jX)\mathbf{I}$$

$$\mathbf{I} = \mathbf{Y}\mathbf{V} = (G + jB)\mathbf{V}$$

$$\mathbf{N} = \frac{1}{2} \mathbf{V}\mathbf{I}^* = \frac{1}{2} \mathbf{Z}\mathbf{I}\mathbf{I}^* = \frac{1}{2} \mathbf{Z}|\mathbf{I}|^2 = \frac{1}{2} \mathbf{V}(\mathbf{Y}\mathbf{V})^* = \frac{1}{2} \mathbf{Y}^*|\mathbf{V}|^2$$

$$P = \operatorname{Re}\left[\frac{1}{2} \mathbf{Z}|\mathbf{I}|^2\right] = \frac{1}{2} R|\mathbf{I}|^2 = \operatorname{Re}\left[\frac{1}{2} \mathbf{Y}^*|\mathbf{V}|^2\right] = \frac{1}{2} G|\mathbf{V}|^2$$

$$Q = \operatorname{Im}\left[\frac{1}{2} \mathbf{Z}|\mathbf{I}|^2\right] = \frac{1}{2} X|\mathbf{I}|^2 = \operatorname{Im}\left[\frac{1}{2} \mathbf{Y}^*|\mathbf{V}|^2\right] = -\frac{1}{2} B|\mathbf{V}|^2$$



$$P > 0 \Leftrightarrow R > 0, G > 0$$

$$Q > 0 \Leftrightarrow X > 0, B < 0$$

77

## Segni delle parti reali e immaginarie di Z e Y

- Si considera un bipolo formato da componenti R, L, C passivi
- Dalle espressioni delle potenze complesse in funzione di  $\mathbf{Z}$  e  $\mathbf{Y}$  e dalla proprietà di additività delle potenze, a seconda del tipo di componenti contenuti nel bipolo, si ricavano le seguenti condizioni:

Componenti	$P$	$Q$	$\operatorname{Re}[\mathbf{Z}]$	$\operatorname{Im}[\mathbf{Z}]$	$\operatorname{Re}[\mathbf{Y}]$	$\operatorname{Im}[\mathbf{Y}]$
R	$> 0$	$= 0$	$> 0$	$= 0$	$> 0$	$= 0$
L	$= 0$	$> 0$	$= 0$	$> 0$	$= 0$	$< 0$
C	$= 0$	$< 0$	$= 0$	$< 0$	$= 0$	$> 0$
R-L	$> 0$	$> 0$	$> 0$	$> 0$	$> 0$	$< 0$
R-C	$> 0$	$< 0$	$> 0$	$< 0$	$> 0$	$> 0$
L-C	$= 0$		$= 0$		$= 0$	
R-L-C	$\geq 0$		$\geq 0$		$\geq 0$	

78

## Valori efficaci

- Si definisce **valore efficace** di una funzione  $a(t)$  periodica di periodo  $T$  la quantità

$$A_{eff} = \sqrt{\frac{1}{T} \int_0^T a^2(t) dt}$$

- In particolare, se  $a(t)$  è sinusoidale, risulta

$$\begin{aligned} A_{eff} &= \sqrt{\frac{\omega}{2\pi} \int_0^{\frac{2\pi}{\omega}} A_M^2 \cos^2(\omega t + \varphi) dt} = \\ &= \sqrt{\frac{\omega}{2\pi} \frac{A_M^2}{2} \int_0^{\frac{2\pi}{\omega}} [1 + \cos(2\omega t + 2\varphi)] dt} = \frac{A_M}{\sqrt{2}} \end{aligned}$$

79

## Valori efficaci

- Espressioni della potenza attiva e reattiva in funzione dei valori efficaci

$$P = \frac{1}{2} V_M I_M \cos \varphi = \frac{V_M}{\sqrt{2}} \frac{I_M}{\sqrt{2}} \cos \varphi = V_{eff} I_{eff} \cos \varphi$$

$$Q = \frac{1}{2} V_M I_M \sin \varphi = V_{eff} I_{eff} \sin \varphi$$

- Potenza assorbita da un resistore

$$P = R I_{eff}^2 = G V_{eff}^2$$

- ➔ *Il valore efficace di una tensione (corrente) sinusoidale corrisponde al valore di una tensione (corrente) costante che applicata a un resistore dà luogo ad una dissipazione di potenza pari al valore medio sul periodo della potenza assorbita dal resistore in regime sinusoidale*

80



## Valori efficaci

- E' possibile definire la trasformata di Steinmetz anche facendo riferimento ai valori efficaci invece che ai valori massimi

$$\mathbf{A}_e = \mathcal{S}_e \{a(t)\} = \frac{A_M}{\sqrt{2}} e^{j\alpha} = \frac{A_M}{\sqrt{2}} (\cos \alpha + j \sin \alpha)$$

$$a(t) = \mathcal{S}_e^{-1} \{\mathbf{A}_e\} = \text{Re} \left[ \sqrt{2} \mathbf{A}_e e^{j\omega t} \right] = \text{Re} \left[ A_M e^{j(\omega t + \alpha)} \right] = A_M \cos(\omega t + \alpha)$$

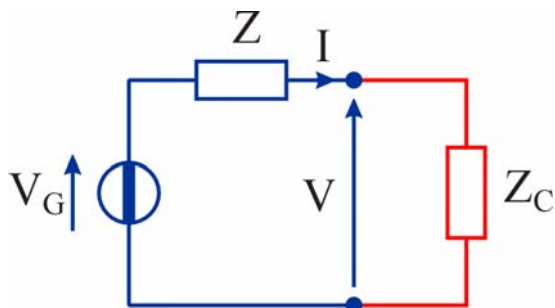
- La trasformata così definita conserva le stesse proprietà della trasformata basata sui valori massimi
- Le impedenze e le ammettenze (essendo definite come rapporti tra fasori) non cambiano se si fa riferimento ai valori efficaci
- L'espressione della potenza complessa diviene

$$\mathbf{N} = \mathbf{V}_e \mathbf{I}_e^*$$

81

## Teorema del massimo trasferimento di potenza attiva

- Si considera un bipolo formato da un generatore di tensione sinusoidale  $\mathbf{V}_G$  in serie con un'impedenza  $\mathbf{Z}$  caricato da un'impedenza  $\mathbf{Z}_C$



$$\mathbf{Z} = R + jX$$

$$\mathbf{Z}_C = R_C + jX_C$$

- ➔ Al variare di  $\mathbf{Z}_C$ , la potenza attiva ceduta al carico è massima quando vale la condizione  $\mathbf{Z}_C = \mathbf{Z}^*$  (**adattamento coniugato**)
- ➔ In queste condizioni la potenza attiva (**potenza disponibile**) vale

$$P_d = \frac{|\mathbf{V}_G|^2}{8R} = \frac{V_{Geff}^2}{4R}$$

82

## Teorema del massimo trasferimento di potenza attiva dimostrazione (1)

- Corrente e tensione nel carico

$$\mathbf{I} = \frac{\mathbf{V}_G}{\mathbf{Z} + \mathbf{Z}_C} \quad \mathbf{V} = \frac{\mathbf{V}_G \mathbf{Z}_C}{\mathbf{Z} + \mathbf{Z}_C}$$

- Potenza attiva ceduta al carico

$$P_C = \operatorname{Re} \left[ \frac{1}{2} \frac{\mathbf{V}_G \mathbf{Z}_C}{(\mathbf{Z} + \mathbf{Z}_C)(\mathbf{Z} + \mathbf{Z}_C)^*} \frac{\mathbf{V}_G^*}{(\mathbf{Z} + \mathbf{Z}_C)^*} \right] = \frac{|\mathbf{V}_G|^2 \operatorname{Re}[\mathbf{Z}_C]}{2|\mathbf{Z} + \mathbf{Z}_C|^2} = \frac{|\mathbf{V}_G|^2 R_C}{2[(R + R_C)^2 + (X + X_C)^2]}$$

- Al variare di  $X_C$  il denominatore è minimo (e quindi  $P_C$  è massimo) se  $X_C = -X$

- In queste condizioni

$$P_C = \frac{|\mathbf{V}_G|^2}{2} \frac{R_C}{(R + R_C)^2}$$

83

## Teorema del massimo trasferimento di potenza attiva dimostrazione (2)

- Al variare di  $P_C$  il massimo si ottiene per

$$\frac{\partial P_C}{\partial R_C} = \frac{|\mathbf{V}_G|^2}{2} \frac{(R + R_C)^2 - 2R_C(R + R_C)}{(R + R_C)^4} = 0$$

cioè  $R_C = R$  infatti:

- ◆  $P_C$  è positivo per  $R_C > 0$  e si annulla per  $R \rightarrow 0$  e  $R \rightarrow \infty$
  - ◆ la derivata di  $P_C$  si annulla solo per  $R_C = R$
  - ➔ questo punto deve corrispondere a un massimo
- ➔ Quindi deve essere  $R_C = R, X_C = -X$  ➔  $\mathbf{Z}_C = \mathbf{Z}^*$

- In queste condizioni si ha

$$P_{C_{\max}} = P_d = \frac{|\mathbf{V}_G|^2}{2} \frac{R}{(R + R)^2} = \frac{|\mathbf{V}_G|^2}{8R}$$

84

## Rendimento

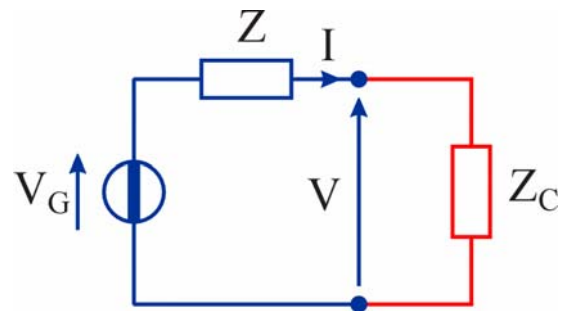
- In condizioni di adattamento coniugato la potenza attiva erogata dal generatore vale

$$P_G = \frac{1}{2} \operatorname{Re} \left[ \mathbf{V}_G \frac{\mathbf{V}_G^*}{2R} \right] = \frac{|\mathbf{V}_G|^2}{4R}$$

- ➔ Il rendimento  $\eta$  definito come rapporto tra la potenza attiva erogata dal generatore e la potenza attiva ceduta al carico è

$$\eta = \frac{P_C}{P_G} = \frac{|\mathbf{V}_G|^2}{8R} \frac{4R}{|\mathbf{V}_G|^2} = 0.5$$

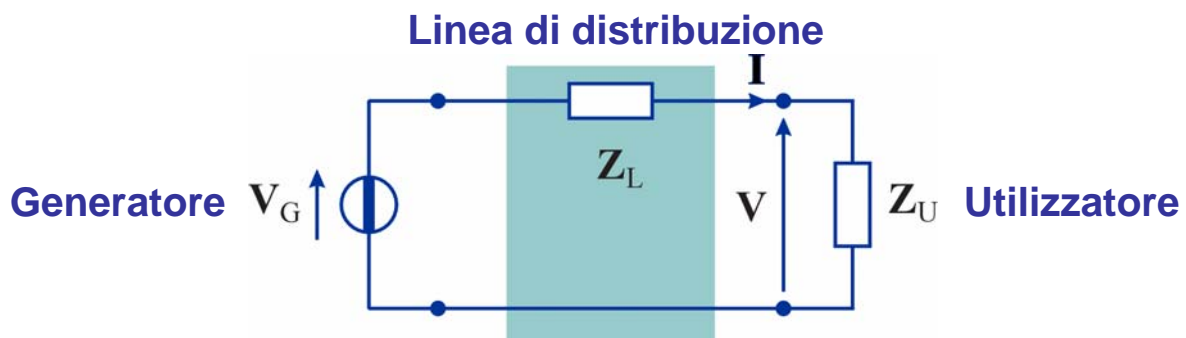
- ➔ La condizione di adattamento coniugato non rappresenta una soluzione ottimale nel caso in cui è importante ottenere rendimenti elevati



85

## Rifasamento

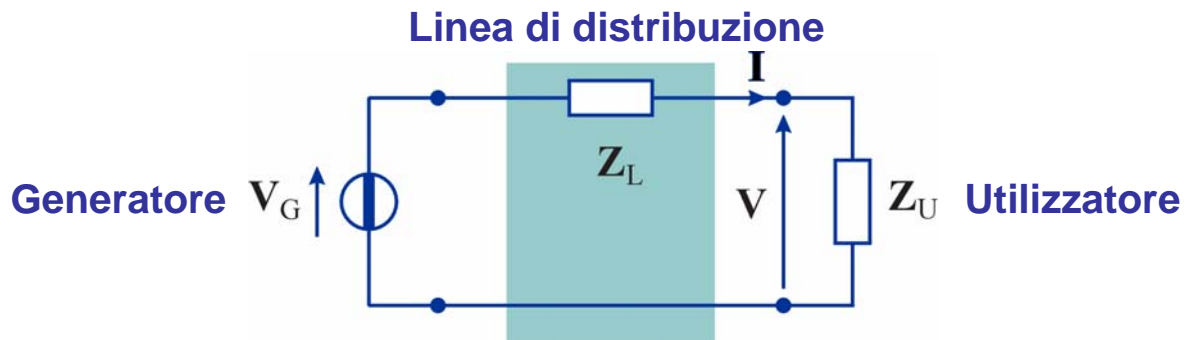
- Distribuzione dell'energia elettrica (schema semplificato)



- Impedenza equivalente della linea:  $\mathbf{Z}_L = R_L + jX_L$
- Condizioni di funzionamento ottimali:
  - ◆ Ampiezza della tensione sul carico praticamente indipendente dalla corrente (normalmente gli utilizzatori sono progettati facendo riferimento a un valore nominale della tensione ➔ sono tollerati scostamenti di pochi percento dal valore nominale prefissato)
  - ◆ Minima dissipazione di potenza nella linea

86

## Rifasamento



- Al crescere dell'ampiezza della corrente  $I$  nella linea

- ◆ si riduce l'ampiezza della tensione sul  $V$  carico

$$V_M = |\mathbf{V}| = |\mathbf{V}_G - \mathbf{Z}_L \mathbf{I}|$$

- ◆ aumentano le perdite per effetto Joule lungo la linea

$$P_L = \frac{1}{2} R_L I_M^2$$

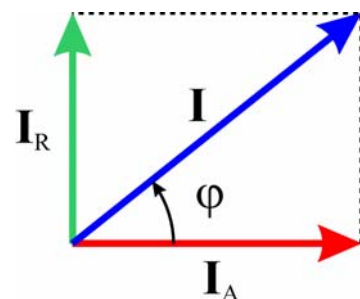
87

## Rifasamento

- Fissata l'ampiezza tensione  $V_M$ , a parità di potenza attiva  $P$  assorbita dal carico l'ampiezza della corrente è inversamente proporzionale al fattore di potenza

$$I_M = \frac{2P}{V_M \cos \varphi}$$

- ◆ L'ampiezza della componente attiva della corrente è fissata dal valore della potenza attiva
- ◆ Al diminuire del fattore di potenza (cioè all'aumentare dell'angolo  $\varphi$ ) aumenta l'ampiezza della componente reattiva della corrente (e quindi l'ampiezza della corrente totale)



- ➔ Per ridurre le perdite occorre aumentare il fattore di potenza del carico

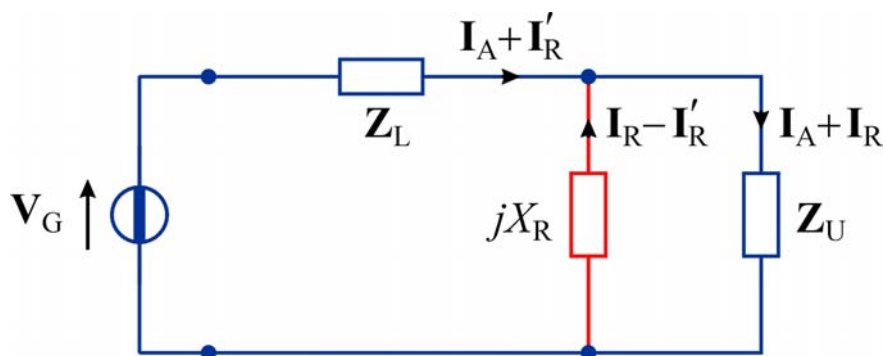
88

## Rifasamento

- Un basso fattore di potenza risulta svantaggioso per il fornitore di energia elettrica
- ➔ Se il valore medio mensile del fattore di potenza risulta inferiore a certi limiti vengono applicate delle maggiorazioni sul costo dell'energia
- Le norme attuali, per impianti a bassa tensione con potenza impegnata  $\geq 15$  kW, prevedono:
  - ◆ per  $\cos\varphi \geq 0.9$  ➔ nessuna penale
  - ◆ per  $0.7 \leq \cos\varphi < 0.9$  ➔ pagamento di una penale commisurata al rapporto tra l'integrale della potenza reattiva (energia reattiva) e quello della potenza attiva (energia attiva) nel periodo di fatturazione
    - i limiti sono prossimi ai valori di  $\cos\varphi$  per cui l'energia attiva e quella reattiva sono uguali ( $\cos\varphi \cong 0.707$ ) e l'energia reattiva è pari al 50% dell'energia attiva ( $\cos\varphi \cong 0.894$ )
  - ◆ per  $\cos\varphi < 0.7$  ➔ obbligo da parte dell'utente di prendere provvedimenti per aumentare il fattore di potenza

89

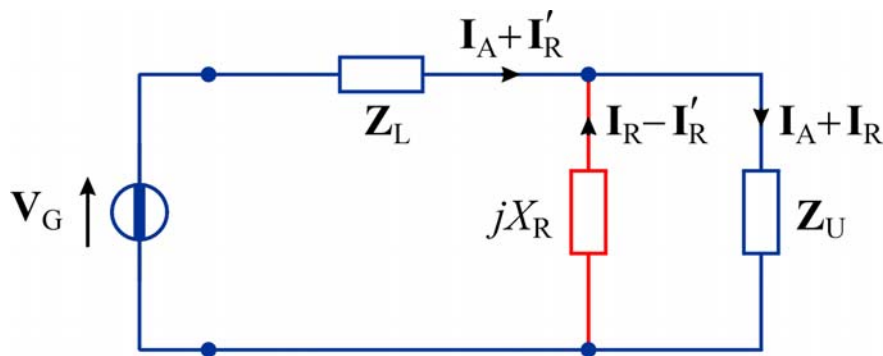
## Rifasamento



- Per aumentare il fattore di potenza si ricorre al **rifasamento** del carico
- Si collega in parallelo all'utilizzatore un bipolo puramente reattivo con reattanza di segno opposto a quella del utilizzatore stesso
- Se il carico è ohmico-induttivo ➔  $X_U > 0$ ,  $\varphi > 0$  (caso più comune) la reattanza  $X_R$  deve essere negativa (➔ condensatore)

90

## Rifasamento



- Dimensionando opportunamente la reattanza  $X_R$  si può fare in modo che
  - ◆ gli scambi di potenza reattiva avvengano prevalentemente tra il carico e il bipolo di rifasamento, riducendo gli scambi di potenza reattiva con il generatore
  - ◆ la componente reattiva  $I_R$  della corrente nel carico circoli prevalentemente nel bipolo di rifasamento, riducendo l'ampiezza della corrente reattiva  $I'_R$  nella linea

91

## Rifasamento

- La potenza reattiva assorbita complessivamente dal carico e dal bipolo di rifasamento è

$$Q' = Q + Q_R$$

- Per portare il fattore di potenza da  $\cos\varphi$  ad un valore accettabile  $\cos\varphi'$  la potenza reattiva assorbita dal bipolo di rifasamento deve essere

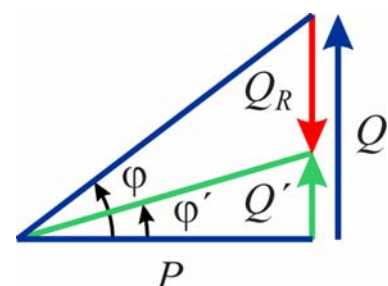
$$Q_R = (Q' - Q) = P(\operatorname{tg}\varphi' - \operatorname{tg}\varphi)$$

- Se il bipolo di rifasamento è un condensatore (capacità =  $C_R$ ) si ha

$$Q_R = -\frac{1}{2}\omega C_R V_M^2$$

- ➔ Quindi la capacità di rifasamento vale

$$C_R = \frac{2P(\operatorname{tg}\varphi - \operatorname{tg}\varphi')}{\omega V_M^2} = \frac{P(\operatorname{tg}\varphi - \operatorname{tg}\varphi')}{\omega V_{eff}^2}$$



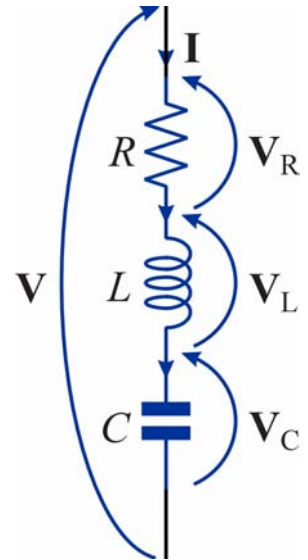
92

## Risonanza serie

- Bipolo RLC serie in regime sinusoidale
- Si studia il comportamento del bipolo al variare della pulsazione  $\omega$

$$\mathbf{Z} = R + j\omega L + \frac{1}{j\omega C} = R + j\left(\omega L - \frac{1}{\omega C}\right)$$

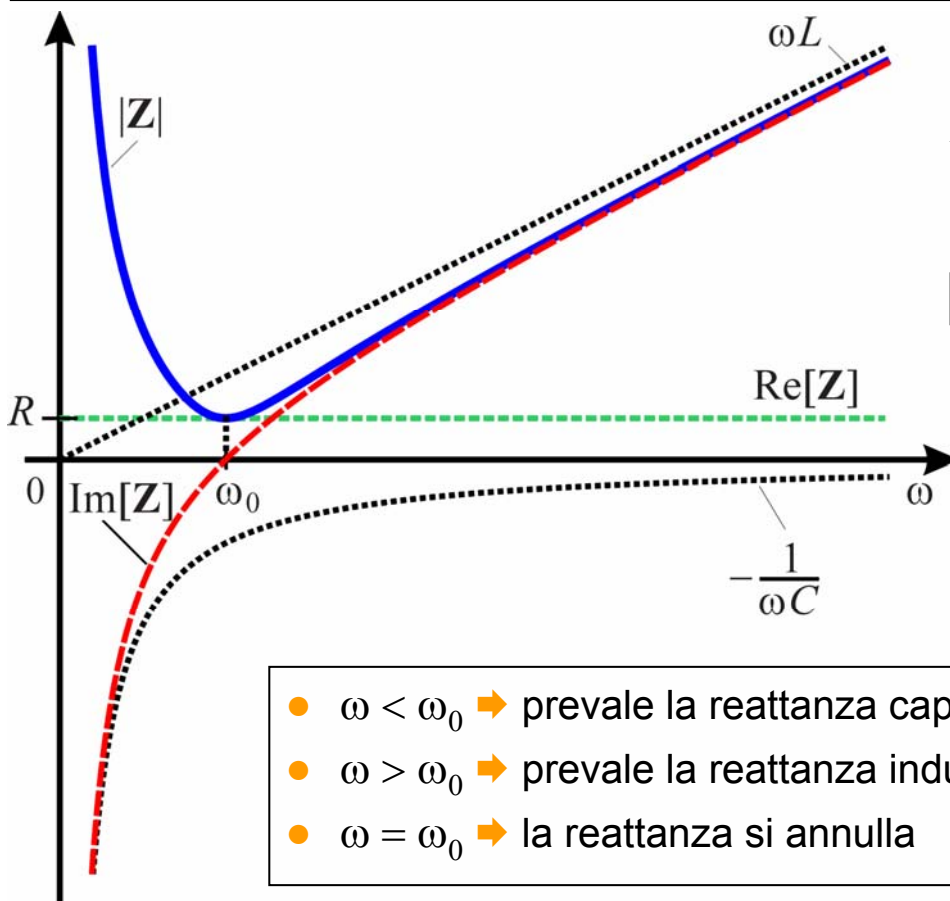
$$|\mathbf{Z}| = \sqrt{R^2 + \left(\omega L - \frac{1}{\omega C}\right)^2} \quad \arg(\mathbf{Z}) = \arctg \frac{\omega L - \frac{1}{\omega C}}{R}$$



- **Pulsazione di risonanza:**  $\omega_0 = \frac{1}{\sqrt{LC}}$
- Per  $\omega = \omega_0$ 
  - ➔  $\text{Im}[\mathbf{Z}] = 0$
  - ➔  $|\mathbf{Z}|$  è minimo
  - ➔  $\arg(\mathbf{Z}) = 0$

93

## Risonanza serie



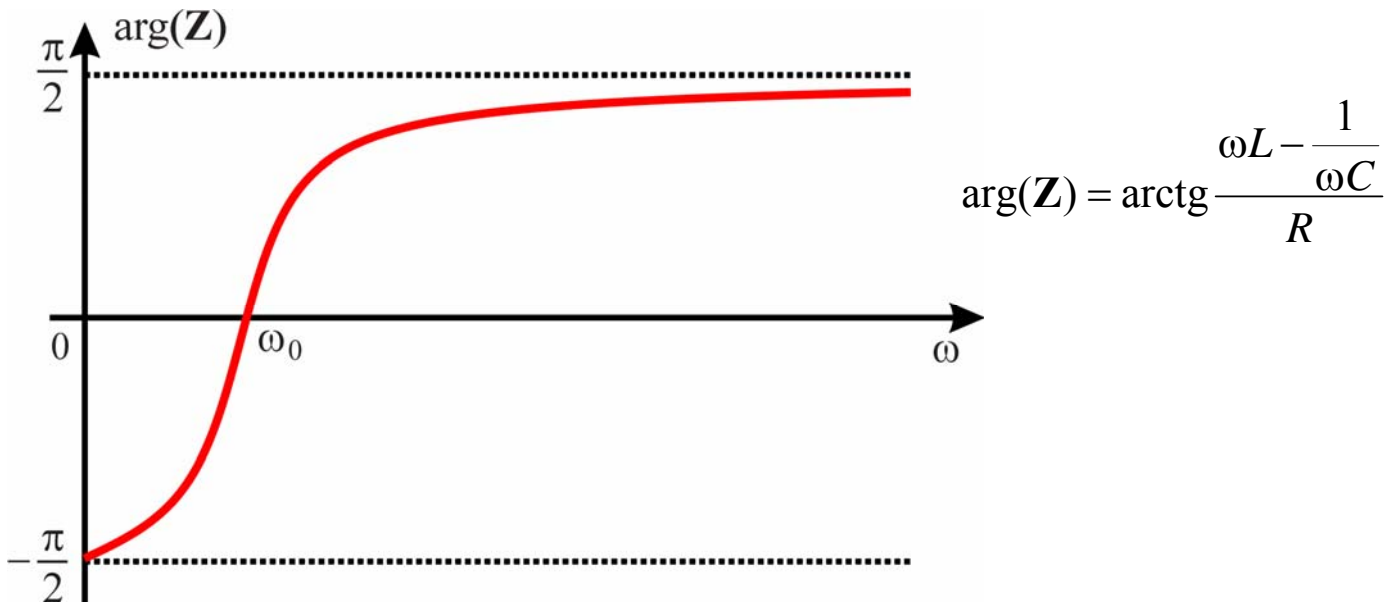
$$\mathbf{Z} = R + j\left(\omega L - \frac{1}{\omega C}\right)$$

$$|\mathbf{Z}| = \sqrt{R^2 + \left(\omega L - \frac{1}{\omega C}\right)^2}$$

- $\omega < \omega_0$  ➔ prevale la reattanza capacitiva
- $\omega > \omega_0$  ➔ prevale la reattanza induttiva
- $\omega = \omega_0$  ➔ la reattanza si annulla

94

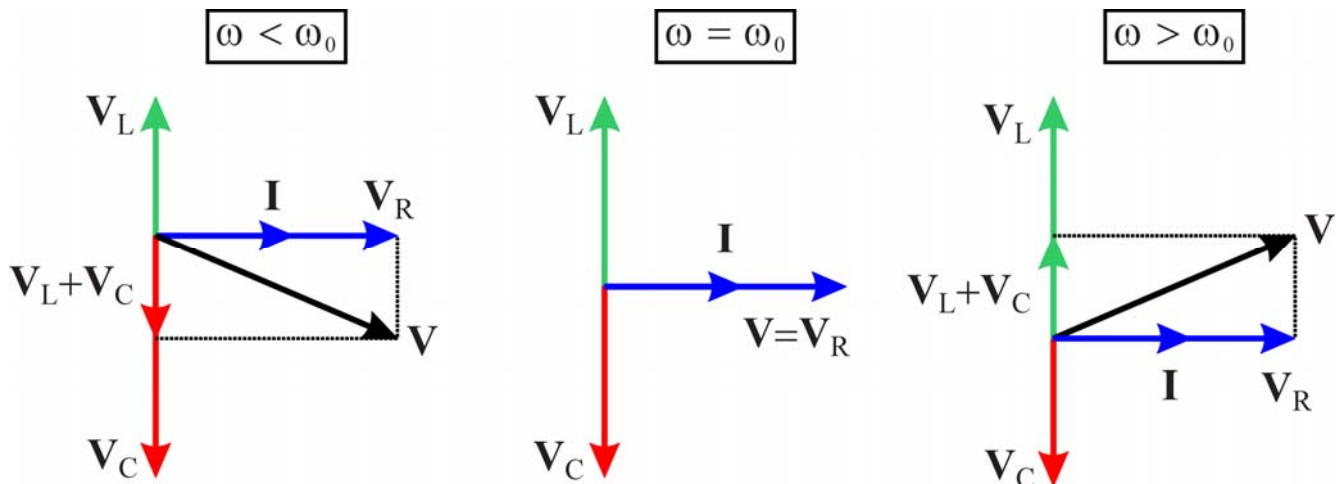
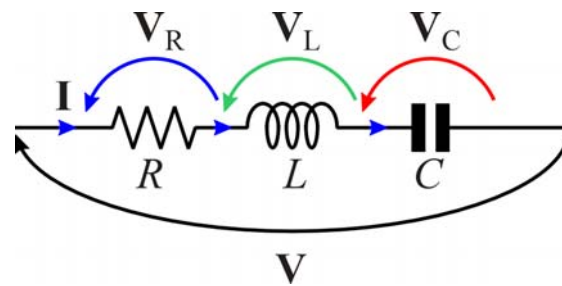
## Risonanza serie



- $\omega < \omega_0$  ➔ la corrente è in anticipo sulla tensione
- $\omega > \omega_0$  ➔ la tensione è in anticipo sulla corrente
- $\omega = \omega_0$  ➔ la tensione e la corrente sono in fase

95

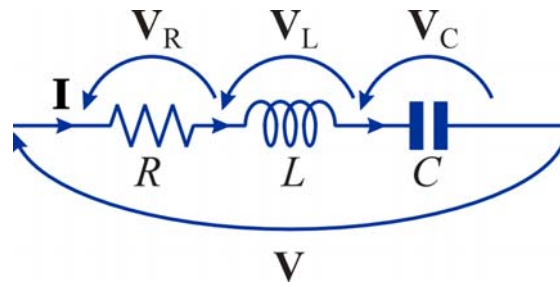
## Risonanza serie



96



## Risonanza serie

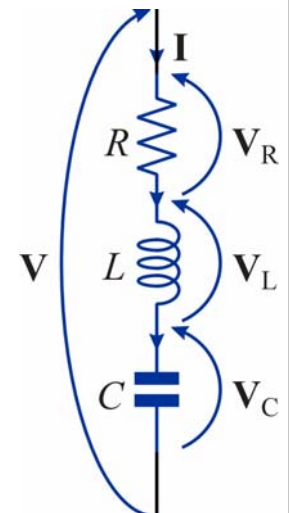


- **Potenza complessa assorbita:**  $N = \frac{1}{2} \mathbf{Z} |\mathbf{I}|^2 = \frac{1}{2} \left[ R + j(\omega L - \frac{1}{\omega C}) \right] I_M^2$
- **Potenza attiva:**  $P = \frac{1}{2} R I_M^2$
- **Potenza reattiva:**  $Q = \frac{1}{2} \omega L I_M^2 - \frac{1}{2\omega C} I_M^2$ 
  - ◆  $\omega < \omega_0 \rightarrow Q < 0$
  - ◆  $\omega > \omega_0 \rightarrow Q > 0$
  - ◆  $\omega = \omega_0 \rightarrow Q = 0$

97

## Risonanza serie

- Corrente nell'induttore:  $i_L(t) = i(t) = I_M \cos(\omega t + \varphi_I)$
- ➔ Energia nell'induttore:  $w_L(t) = \frac{1}{2} L i^2(t) = \frac{1}{2} L I_M^2 \cos^2(\omega t + \varphi_I)$
- Tensione del condensatore:  $\mathbf{V}_C = -j \frac{1}{\omega C} \mathbf{I} \rightarrow v_C(t) = \frac{1}{\omega C} I_M \sin(\omega t + \varphi_I)$
- ➔ Energia nel condensatore:
 
$$w_C(t) = \frac{1}{2} C v_C^2(t) = \frac{1}{2\omega^2 C} I_M^2 \sin^2(\omega t + \varphi_I)$$
- In condizioni di risonanza:
 
$$w_C(t) = \frac{1}{2\omega_0^2 C} I_{M0}^2 \sin^2(\omega_0 t + \varphi_I) = \frac{1}{2} L I_{M0}^2 \sin^2(\omega_0 t + \varphi_I)$$
  - ➔  $w_L(t) + w_C(t) = \frac{1}{2} L I_{M0}^2$
- ➔ In condizioni di risonanza l'energia totale accumulata nel bipolo RLC si mantiene costante



98

## Fattore di merito

- In condizioni di risonanza, si definisce **fattore di merito** la quantità

$$Q_0 = 2\pi \frac{\text{Energia accumulata}}{\text{Energia dissipata in un periodo}}$$

- Per un bipolo RLC serie, se l'ampiezza della corrente in condizioni di risonanza è  $I_{M0}$  si ottiene

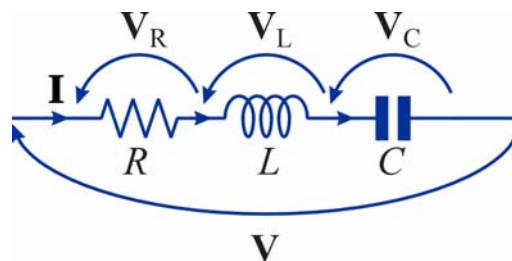
$$Q_0 = 2\pi \frac{\frac{1}{2} L I_{M0}^2}{\frac{1}{2} R I_{M0}^2 \cdot T_0} = \frac{\omega_0 L}{R} = \frac{1}{\omega_0 RC} \quad \left( T_0 = \frac{2\pi}{\omega_0} \right)$$

- L'espressione dell'impedenza del bipolo può essere posta nella forma

$$\mathbf{Z} = R + j \left( \omega L - \frac{1}{\omega C} \right) = R \left[ 1 + j \left( \frac{\omega L}{R} - \frac{1}{\omega RC} \right) \right] = R \left[ 1 + j Q_0 \left( \frac{\omega}{\omega_0} - \frac{\omega_0}{\omega} \right) \right]$$

99

## Curve di risonanza



- Per caratterizzare la risposta in frequenza di un bipolo RLC serie, di solito si considera la funzione di trasferimento

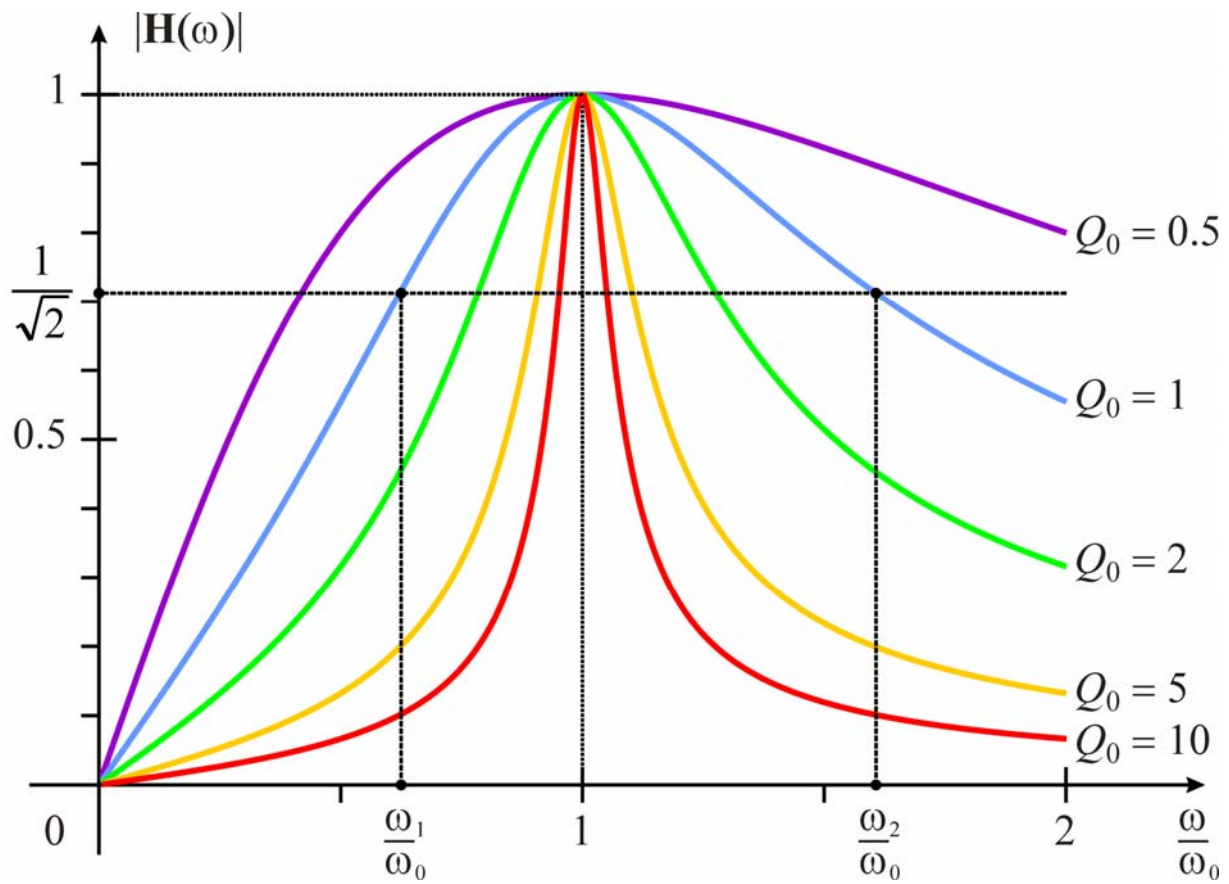
$$\mathbf{H}(\omega) = \frac{\mathbf{V}_R}{\mathbf{V}} = \frac{R}{\mathbf{Z}} = \frac{1}{1 + j Q_0 \left( \frac{\omega}{\omega_0} - \frac{\omega_0}{\omega} \right)}$$

- Se  $\mathbf{V}$  è fissato,  $\mathbf{H}$  rappresenta anche il rapporto tra la corrente nel bipolo al variare di  $\omega$  e la corrente in condizioni di risonanza  $\mathbf{I}_0$

$$\mathbf{H}(\omega) = \frac{\mathbf{I}}{\mathbf{I}_0}$$

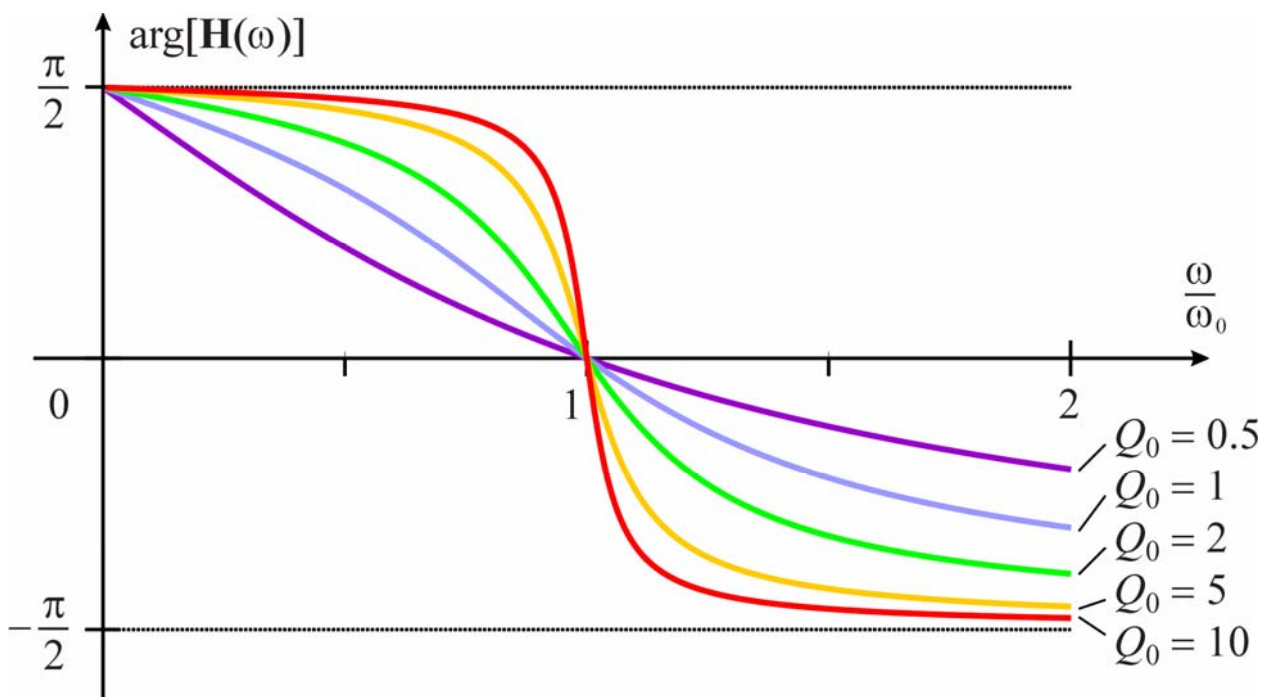
100

## Curve di risonanza



101

## Curve di risonanza



102

## Larghezza di banda

- Se  $V$  è fissato, l'ampiezza della corrente nel bipolo, e quindi la potenza attiva assorbita, sono massime per  $\omega = \omega_0$

- In queste condizioni si ha

$$P_0 = \frac{1}{2} \frac{V_M^2}{R} = \frac{1}{2} R I_{M0}^2$$

- La potenza attiva assorbita può essere espressa in funzione di  $\omega$  come

$$P = \frac{1}{2} R I_M^2 = \frac{1}{2} R |\mathbf{H}(\omega)|^2 I_{M0}^2 = |\mathbf{H}(\omega)|^2 P_0$$

- **Larghezza di banda** (a metà potenza),  $B$ : ampiezza dell'intervallo compreso tra le pulsazioni  $\omega_1$  e  $\omega_2$  per cui risulta  $P = P_0/2$

$$B = \omega_2 - \omega_1$$

- All'aumentare di  $Q_0$  il modulo di  $\mathbf{H}(\omega)$  presenta un picco sempre più stretto nell'intorno di  $\omega_0$

- ➔ La larghezza di banda diminuisce con l'aumentare del fattore di merito

103

## Larghezza di banda

- La potenza attiva assorbita dal bipolo vale  $P = P_0/2$  se è verificata la relazione

$$Q_0 \left( \frac{\omega}{\omega_0} - \frac{\omega_0}{\omega} \right) = \pm 1 \quad \Rightarrow \quad \omega^2 \pm \frac{\omega_0}{Q_0} \omega + \omega_0^2 = 0$$

- Le soluzioni positive di questa equazione sono

$$\omega_1, \omega_2 = \omega_0 \left( \pm \frac{1}{2Q_0} + \sqrt{1 + \frac{1}{4Q_0^2}} \right)$$

- ➔ Quindi si ha

$$B = \omega_2 - \omega_1 = \frac{\omega_0}{Q_0} \quad \Rightarrow \quad B = \frac{L}{R} = \omega_0^2 RC$$

- Per valori sufficientemente elevati di  $Q_0$  (in pratica per  $Q_0 \geq 10$ ), si può ritenere

$$\omega_1, \omega_2 \approx \omega_0 \left( 1 \pm \frac{1}{2Q_0} \right) = \omega_0 \pm \frac{B}{2}$$

104

## Risonanza parallelo

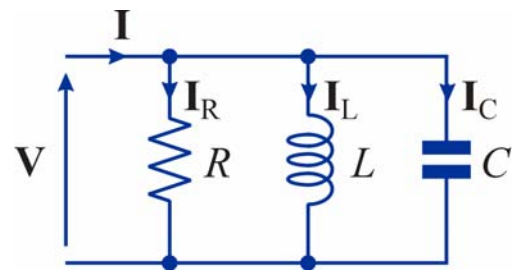
- Bipolo RLC parallelo in regime sinusoidale
- Si studia il comportamento del bipolo al variare della pulsazione  $\omega$

$$Y = G + j\omega C + \frac{1}{j\omega L} = G + j\left(\omega C - \frac{1}{\omega L}\right)$$

$$|Y| = \sqrt{G^2 + \left(\omega C - \frac{1}{\omega L}\right)^2} \quad \arg(Y) = \arctg \frac{\omega C - \frac{1}{\omega L}}{G}$$

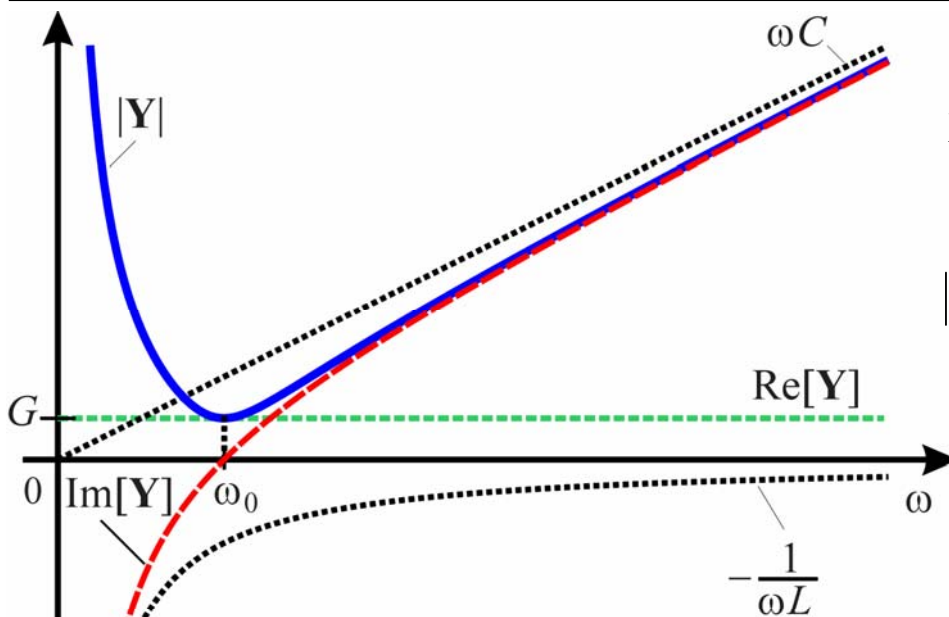
- **Pulsazione di risonanza:**  $\omega_0 = \frac{1}{\sqrt{LC}}$

- Per  $\omega = \omega_0$ 
  - ➔  $\text{Im}[Y] = 0$
  - ➔  $|Y|$  è minimo
  - ➔  $\arg(Y) = 0$



105

## Risonanza parallelo



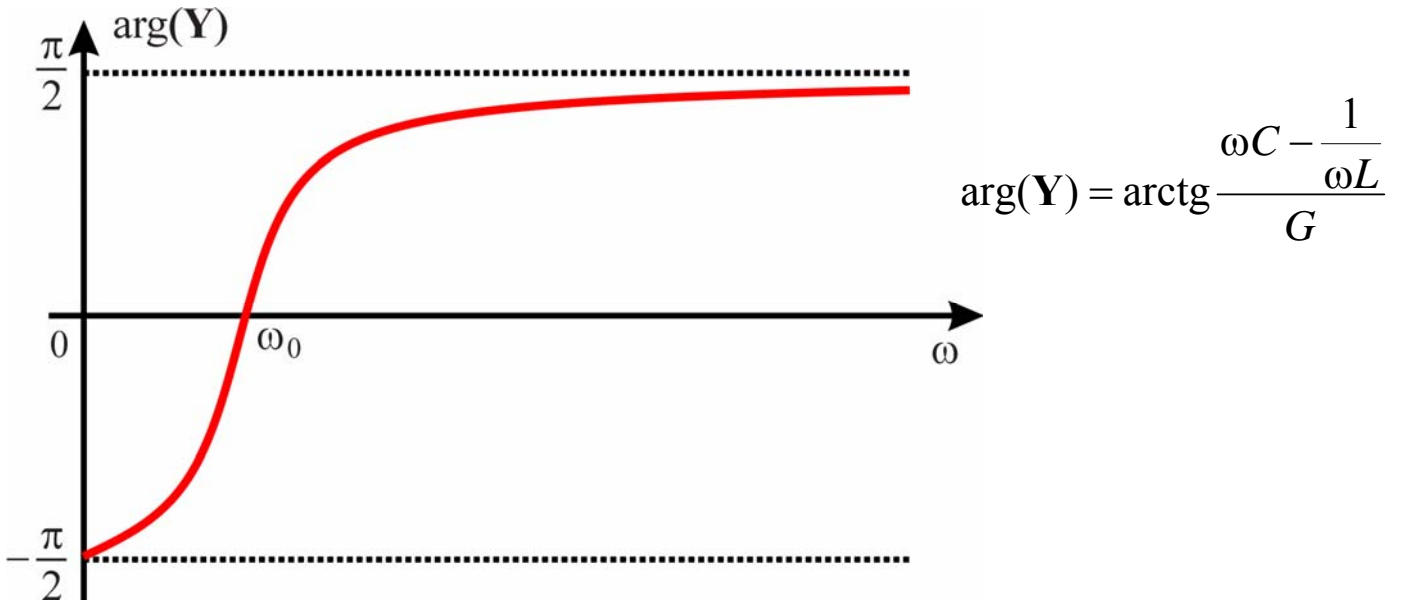
$$Y = G + j\left(\omega C - \frac{1}{\omega L}\right)$$

$$|Y| = \sqrt{G^2 + \left(\omega C - \frac{1}{\omega L}\right)^2}$$

- $\omega < \omega_0$  ➔ prevale la suscettanza induttiva
- $\omega > \omega_0$  ➔ prevale la suscettanza capacitiva
- $\omega = \omega_0$  ➔ la suscettanza si annulla

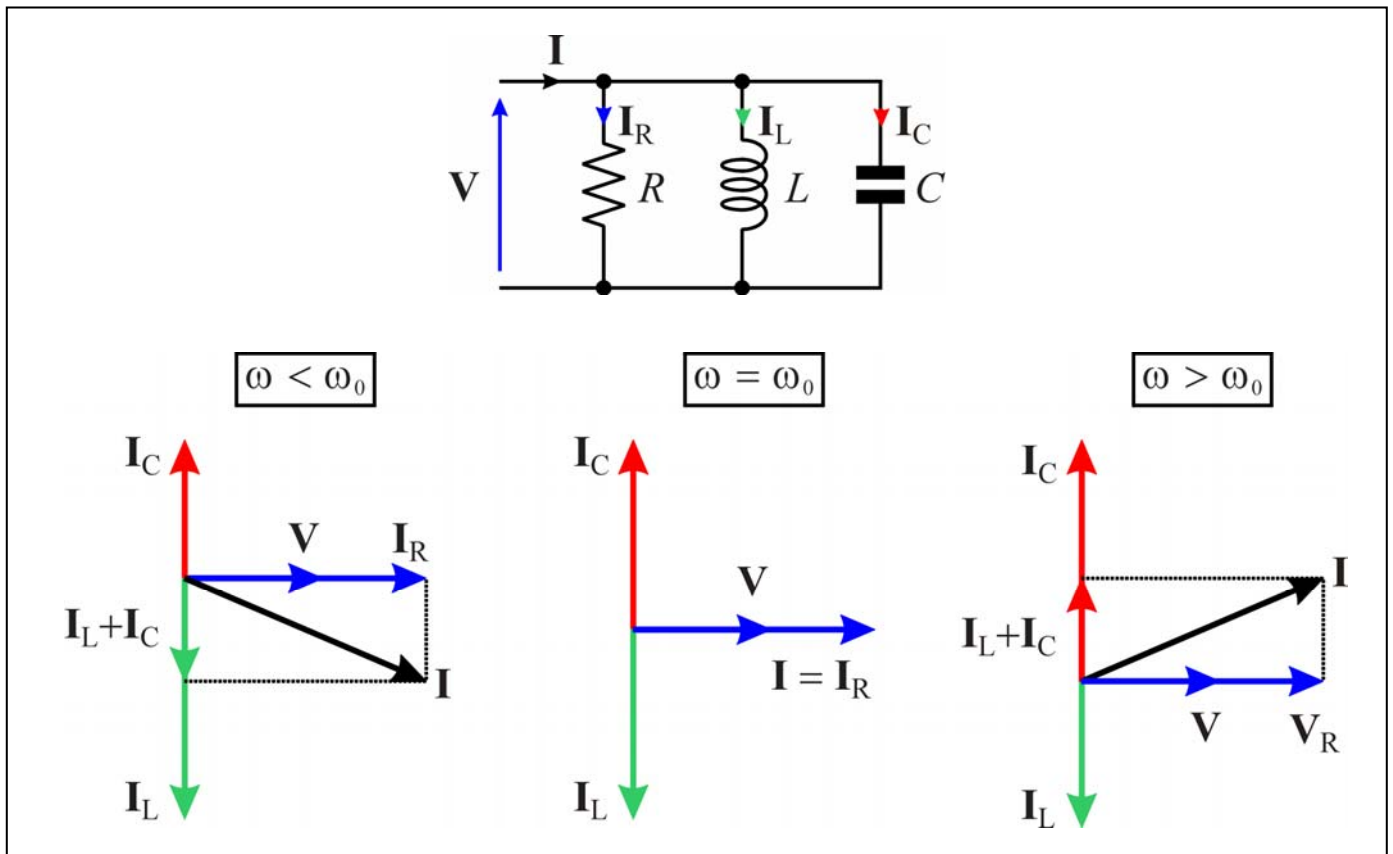
106

# Risonanza parallelo

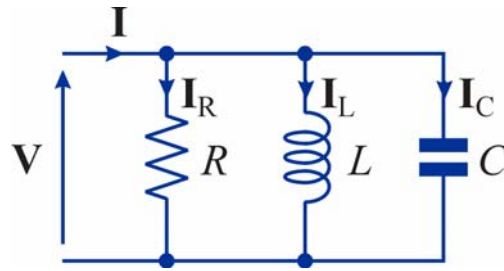


- $\omega < \omega_0$  ➔ la tensione è in anticipo sulla corrente
- $\omega > \omega_0$  ➔ la corrente è in anticipo sulla tensione
- $\omega = \omega_0$  ➔ la tensione e la corrente sono in fase

# Risonanza parallelo



## Risonanza parallelo



- **Potenza complessa assorbita:**  $\mathbf{N} = \frac{1}{2} \mathbf{Y}^* |\mathbf{V}|^2 = \frac{1}{2} \left[ G - j(\omega C - \frac{1}{\omega L}) \right] V_M^2$
- **Potenza attiva:**  $P = \frac{1}{2} G V_M^2$
- **Potenza reattiva:**  $Q = \frac{1}{2\omega L} V_M^2 - \frac{1}{2} \omega C V_M^2$ 
  - ◆  $\omega < \omega_0 \rightarrow Q > 0$
  - ◆  $\omega > \omega_0 \rightarrow Q < 0$
  - ◆  $\omega = \omega_0 \rightarrow Q = 0$

109

## Risonanza parallelo

- Tensione del condensatore:  $v_C(t) = v(t) = V_M \cos(\omega t + \varphi_V)$
- ➔ Energia nel condensatore:  $w_C(t) = \frac{1}{2} C v^2(t) = \frac{1}{2} C V_M^2 \cos^2(\omega t + \varphi_V)$
- Corrente nell'induttore:  $\mathbf{I}_L = -j \frac{1}{\omega L} \mathbf{V} \rightarrow i_L(t) = \frac{1}{\omega L} V_M \sin(\omega t + \varphi_V)$

- ➔ Energia nell'induttore:

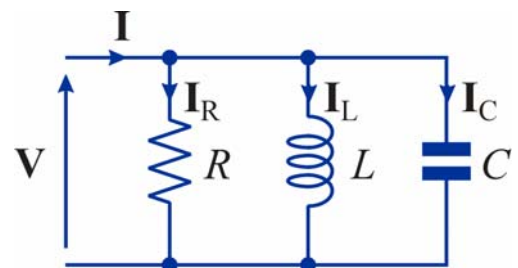
$$w_L(t) = \frac{1}{2} L i_L^2(t) = \frac{1}{2\omega^2 L} V_M^2 \sin^2(\omega t + \varphi_V)$$

- In condizioni di risonanza:

$$w_L(t) = \frac{1}{2\omega_0^2 L} V_{M0}^2 \sin^2(\omega_0 t + \varphi_V) = \frac{1}{2} C V_{M0}^2 \sin^2(\omega_0 t + \varphi_V)$$

$$\rightarrow w_L(t) + w_C(t) = \frac{1}{2} C V_{M0}^2$$

- ➔ In condizioni di risonanza l'energia totale accumulata nel bipolo RLC si mantiene costante



110

## Fattore di merito

- Per un bipolo RLC parallelo il fattore di merito è

$$Q_0 = 2\pi \frac{\frac{1}{2} C V_{M0}^2}{\frac{1}{2} G V_{M0}^2 \cdot T_0} = \frac{\omega_0 C}{G} = \frac{1}{\omega_0 L G}$$

- ➔ In questo caso l'ammettenza può essere espressa come

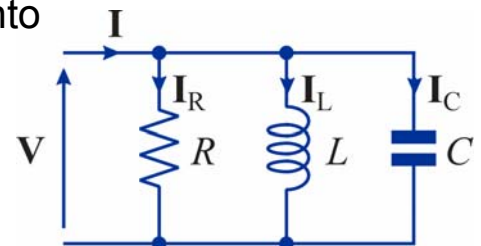
$$\mathbf{Y} = G + j\left(\omega C - \frac{1}{\omega L}\right) = G \left[ 1 + j\left(\frac{\omega C}{G} - \frac{1}{\omega L G}\right) \right] = G \left[ 1 + jQ_0 \left( \frac{\omega}{\omega_0} - \frac{\omega_0}{\omega} \right) \right]$$

111

## Larghezza di banda

- Per caratterizzare la risposta in frequenza di un bipolo RLC serie, di solito si considera la funzione di trasferimento

$$\mathbf{H}(\omega) = \frac{\mathbf{I}_R}{\mathbf{I}} = \frac{G}{\mathbf{Y}} = \frac{1}{1 + jQ_0 \left( \frac{\omega}{\omega_0} - \frac{\omega_0}{\omega} \right)}$$



- Se  $\mathbf{I}$  è fissato,  $\mathbf{H}$  rappresenta anche il rapporto tra la tensione nel bipolo al variare di  $\omega$  e la tensione in condizioni di risonanza  $V_0$

$$\mathbf{H}(\omega) = \frac{V}{V_0}$$

- L'andamento di  $\mathbf{H}$  in funzione di  $\omega$  coincide con quello visto per il bipolo RLC serie
- La larghezza di banda in questo caso vale

$$B = \frac{\omega_0}{Q_0} = \frac{C}{G} = \omega_0^2 L G$$

112